Conta degli elettroni: metodo della donazione di coppie elettroniche

- Il numero di ossidazione dell'atomo metallico è dato dalla carica totale del complesso meno le eventuali cariche dei leganti.
- Il numero di elettroni forniti dal metallo corrisponde a quello del suo Gruppo meno il suo numero di ossidazione.
- Il numero totale di elettroni è la somma del numero di elettroni sull'atomo metallico e del numero di elettroni forniti dai leganti.

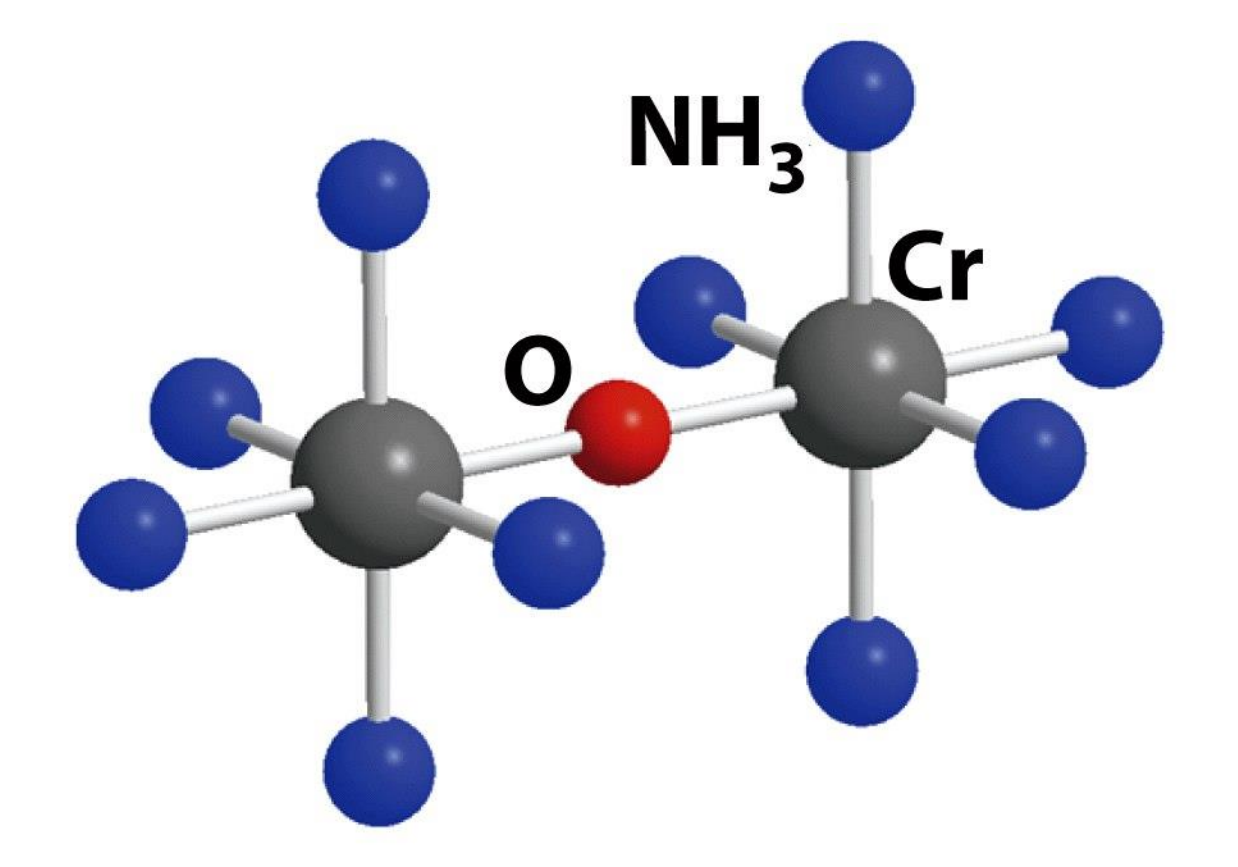
Formule e Nomenclatura

 $[Co(NH_3)_6]^{3+}$ esaamminocobalto(III)

[CoCl₂(NH₃)₄]⁺ tetraamminodiclorurocobalto(III)

[PtCl₄]²⁻ tetracloruroplatinato(II)

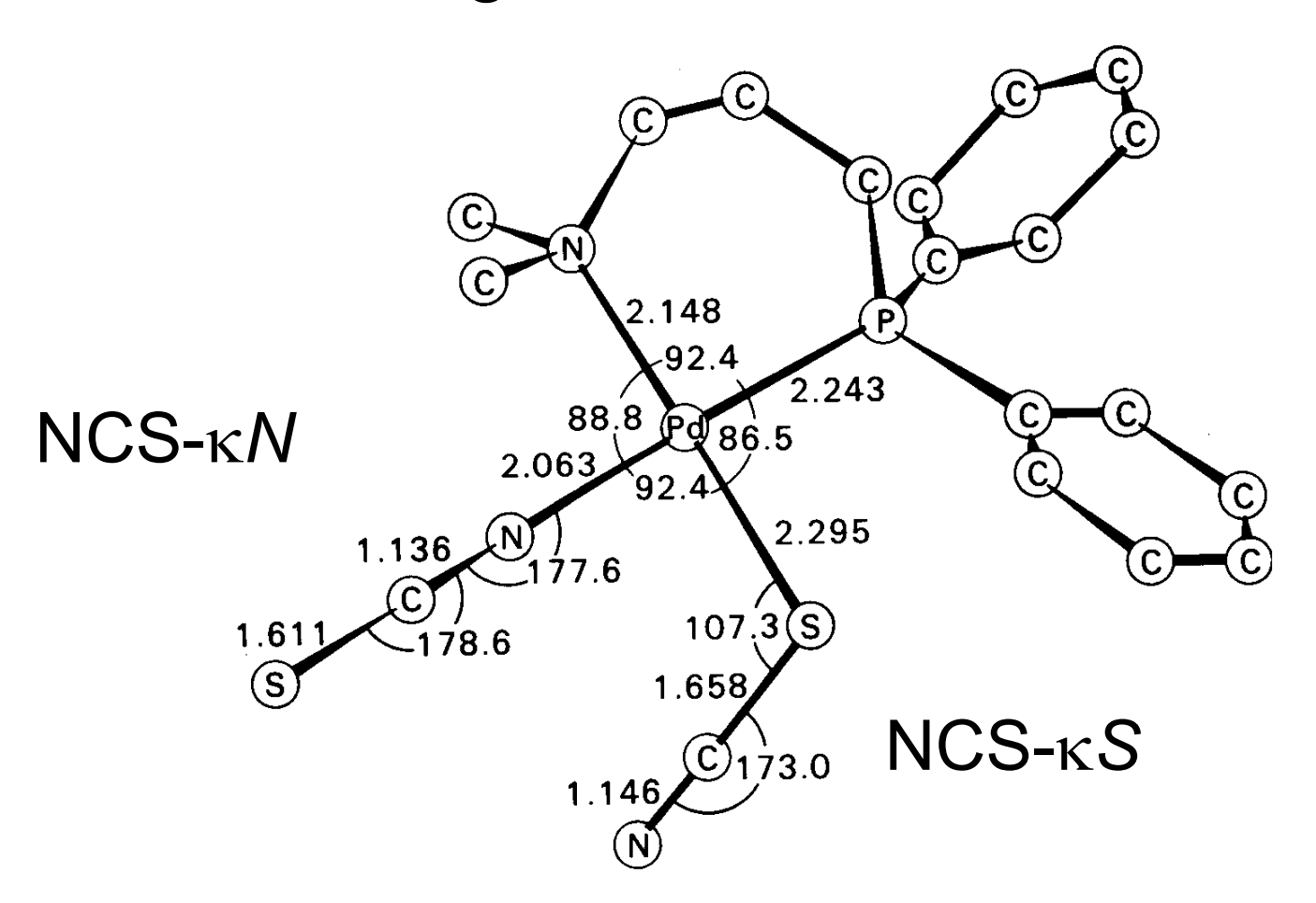
[RuCl₂(dmso)₄] diclorurotetrakis dimetilsolfossidorutenio(II)

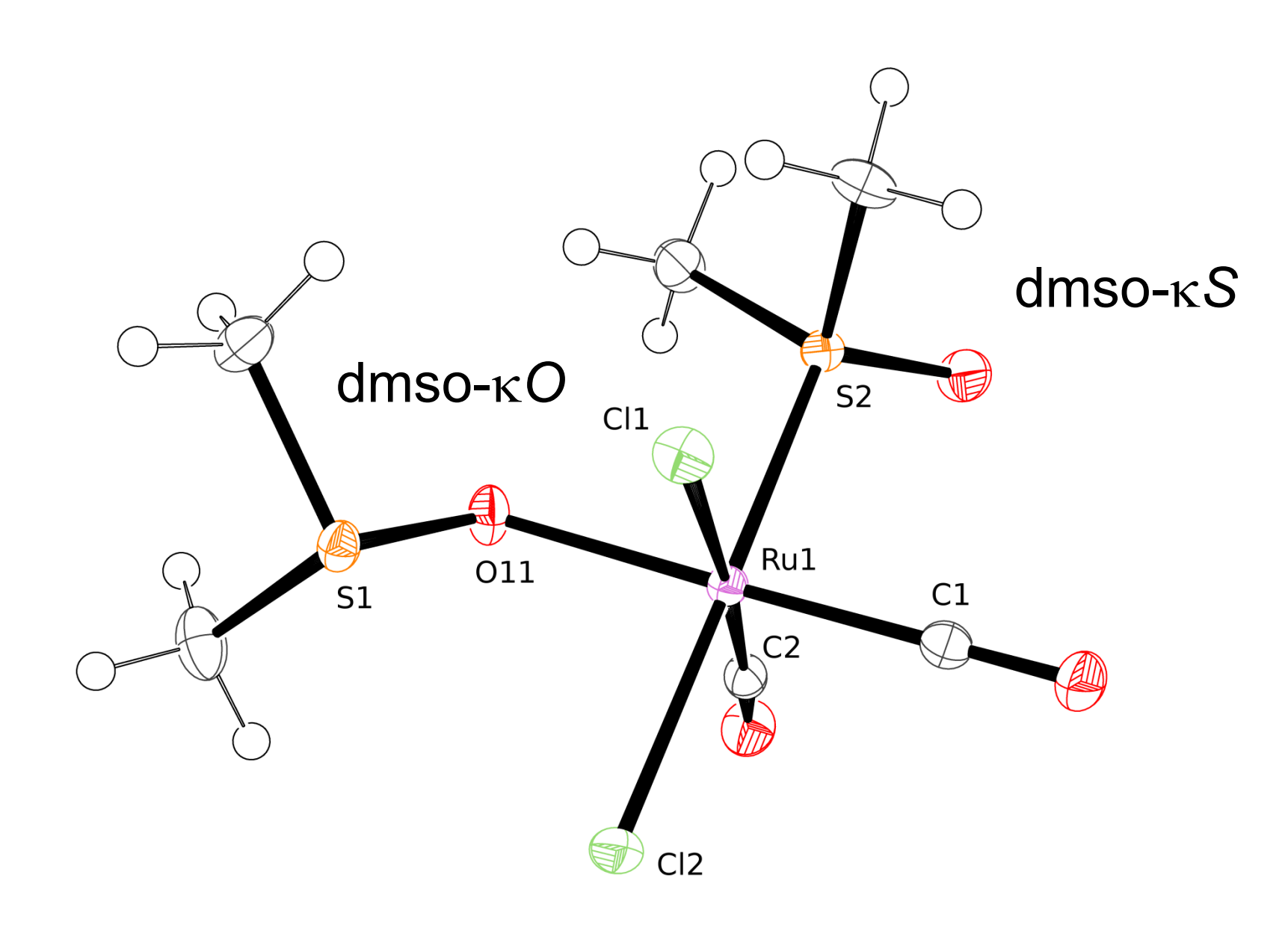


μ-osso-<u>bis</u>(pentaammino)cromo(III)

[(H₃N)₅CrOCr(NH₃)₅]

Leganti ambidentati





Numeri di coordinazione elevati (e.g. 7, 8):

- Ioni metallici grandi (early transition) e in elevato stato di ossidazione.
- Leganti piccoli e buoni donatori σ (e.g. F⁻, CH₃⁻), cioè leganti hard.
- Contro-cationi grandi e non acidi.
- I metalli di inizio serie in alto stato di ossidazione tendono a fare legami multipli (e.g. con O²⁻ o N³⁻).

Numeri di coordinazione bassi (e.g. 2, 3):

- Ioni metallici piccoli (late transition) e in basso stato di ossidazione.
- Leganti soft, tipicamente buoni accettori π .
- Leganti ingombranti o che facciano legami multipli.
- Contro-anioni non coordinanti.

Anioni poco coordinanti:

 NO_3^- , CIO_4^- , $CF_3SO_3^-$ (triflato), BF_4^- , $B(C_6H_5)_4^-$, PF_6^- , SbF_6^-

Numero di coordinazione 2 geometria lineare

Ioni d¹⁰: Cu(I), Ag(I), Au(I), Hg(II)

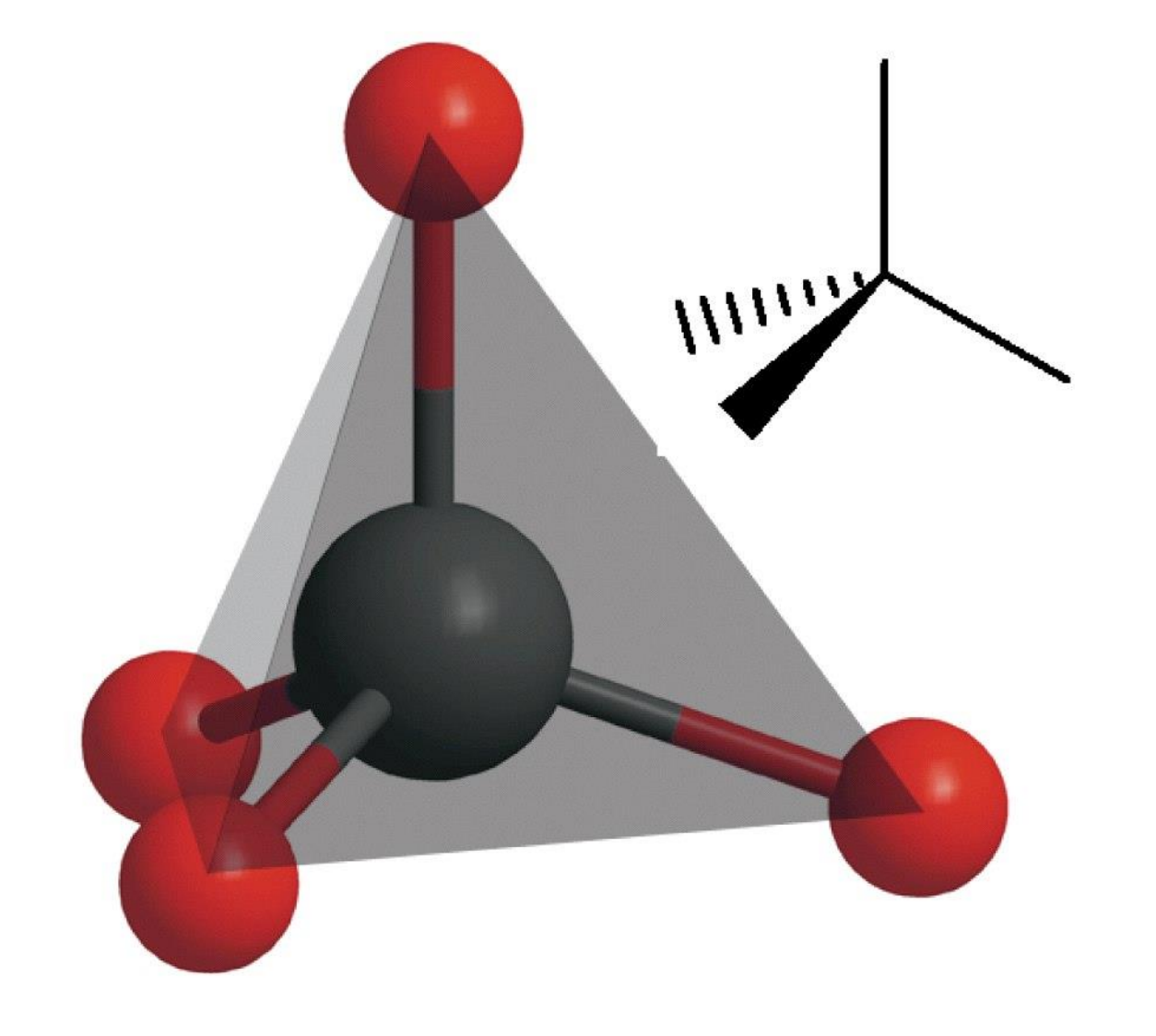
 $[CuCl_2]^-$, $[Ag(NH_3)_2]^+$, $[Au(CN)_2]^-$, $[Hg(CN)_2]$

Numero di coordinazione 3 geometria trigonale planare

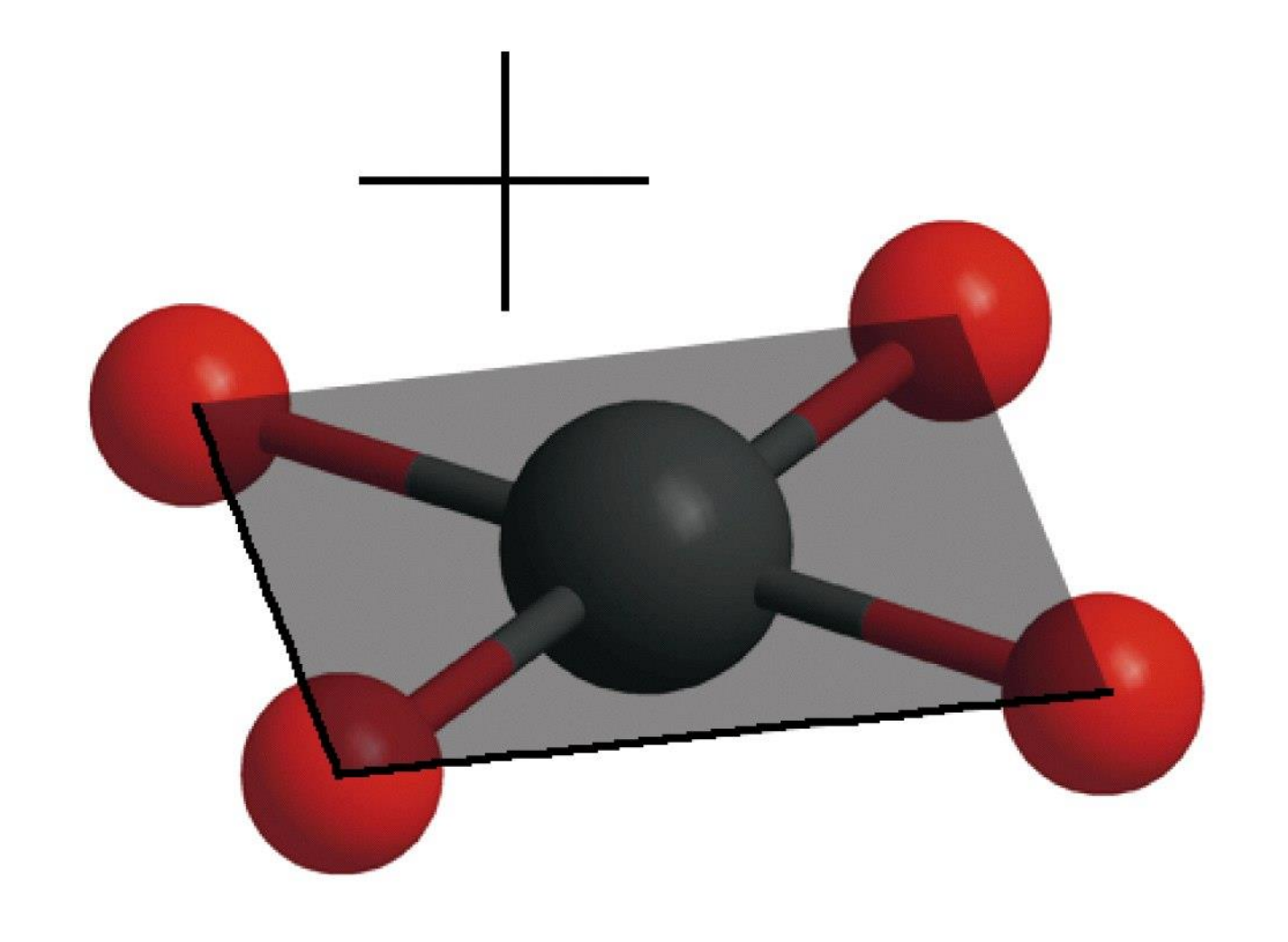
Ioni d¹⁰: Cu(I), Au(I), Pt(0)

 $[Cu(CN)_3]^{2-}$, $[Au(PPh_3)_3]^+$, $[Pt(PCy_3)_3]$

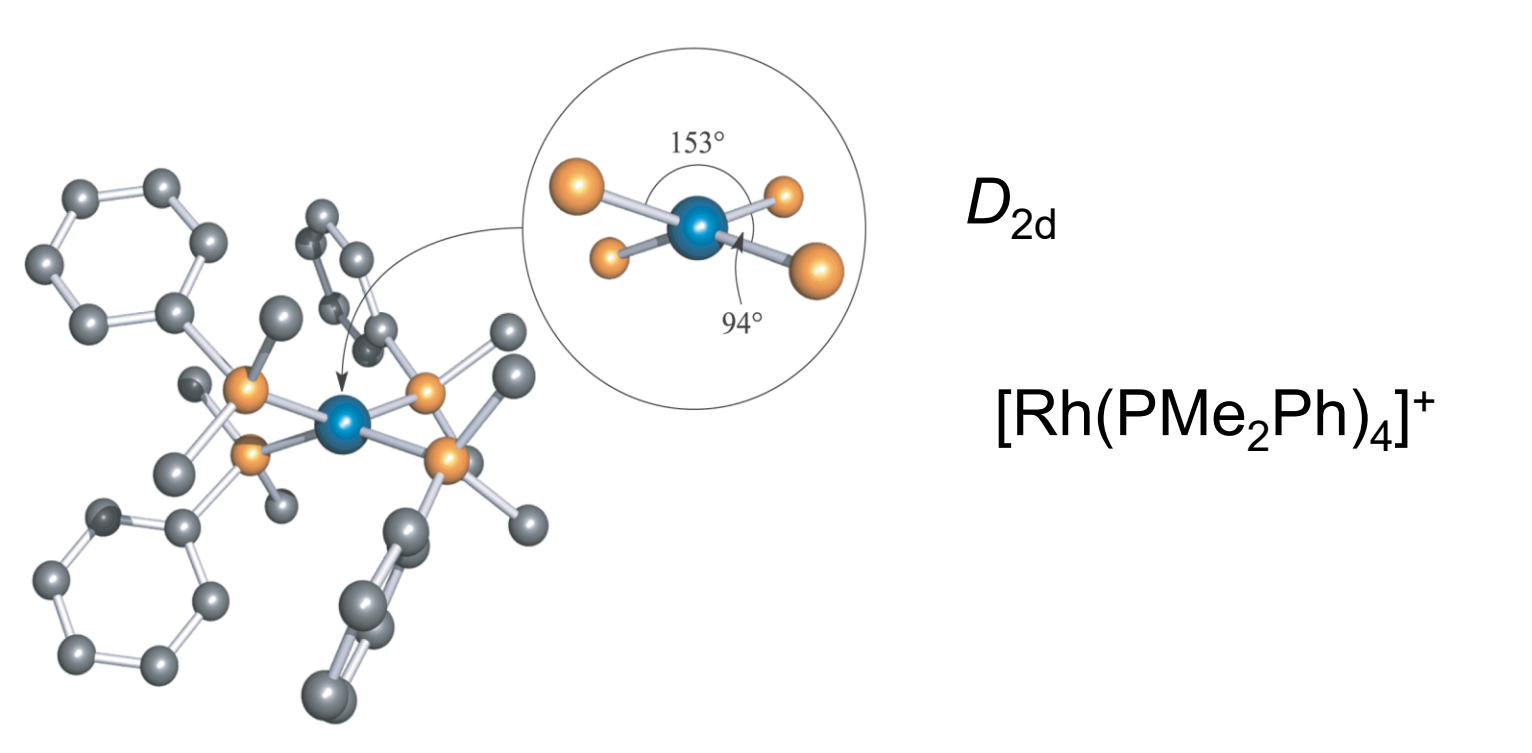
anioni poco coordinanti: NO_3^- , CIO_4^- , $CF_3SO_3^-$ (triflato), BF_4^- , PF_6^- , SbF_6^-



Tetrahedral complex, T_d



Square-planar complex, D_{4h}



Distorsione della geometria planare-quadrata causata da leganti voluminosi

Complessi pentacoordinati

Bipiramide trigonale

$$[CdCl_5]^{3-}$$
, $[HgCl_5]^{3-}$

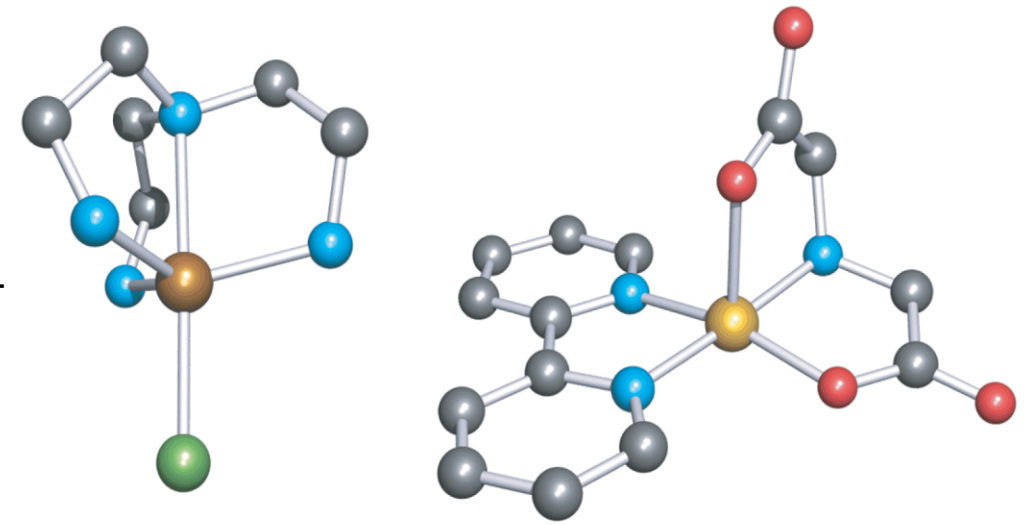
[V(acac)₂O], [WCl₄O]⁻, [TcCl₄N]⁻
$$d^1$$

minimizza le repulsioni fra i leganti

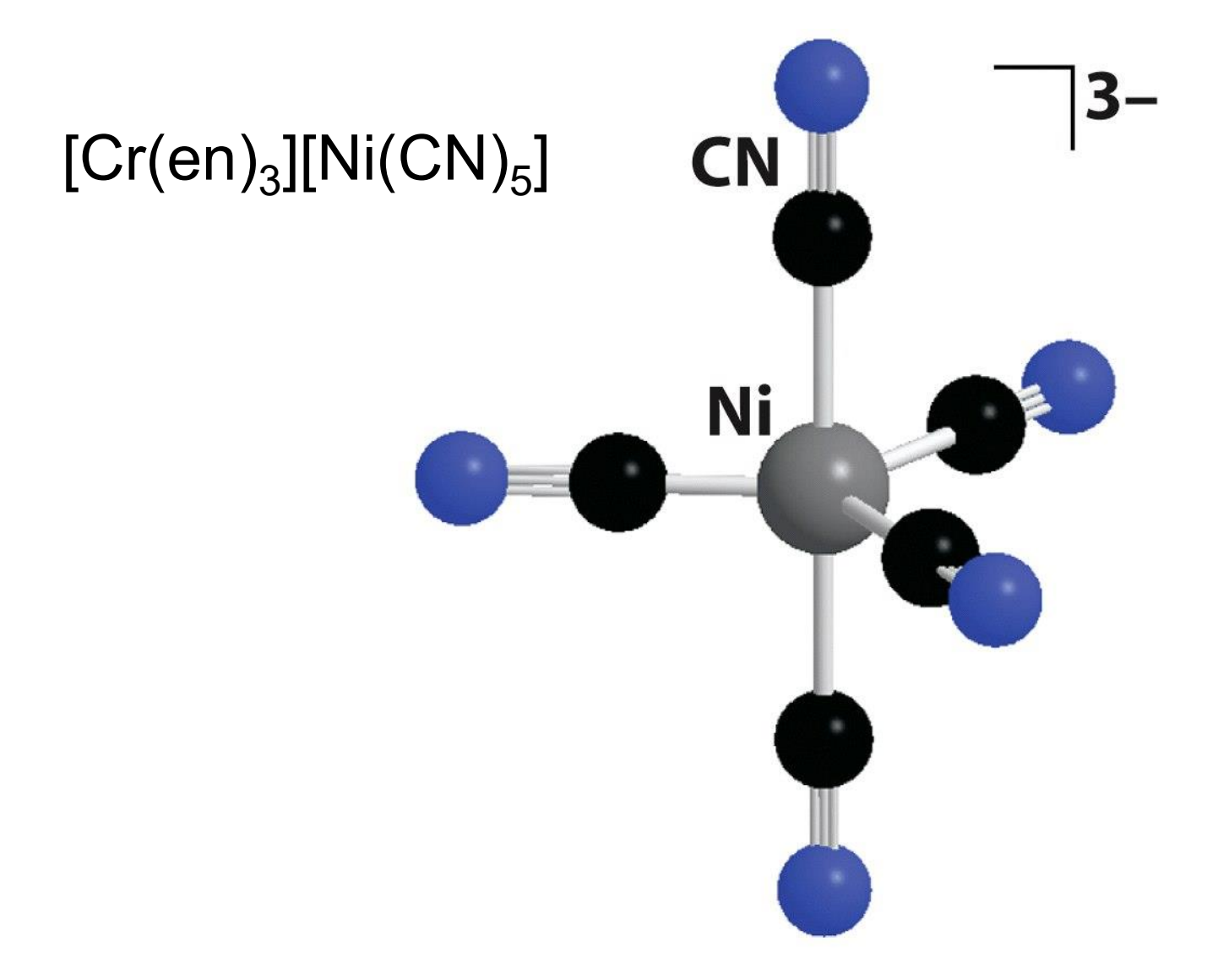
Esempi di complessi pentacoordinati con geometria imposta dai leganti

 $[Zn\{N(CH_2CH_2NH_2)_3\}CI]^+$

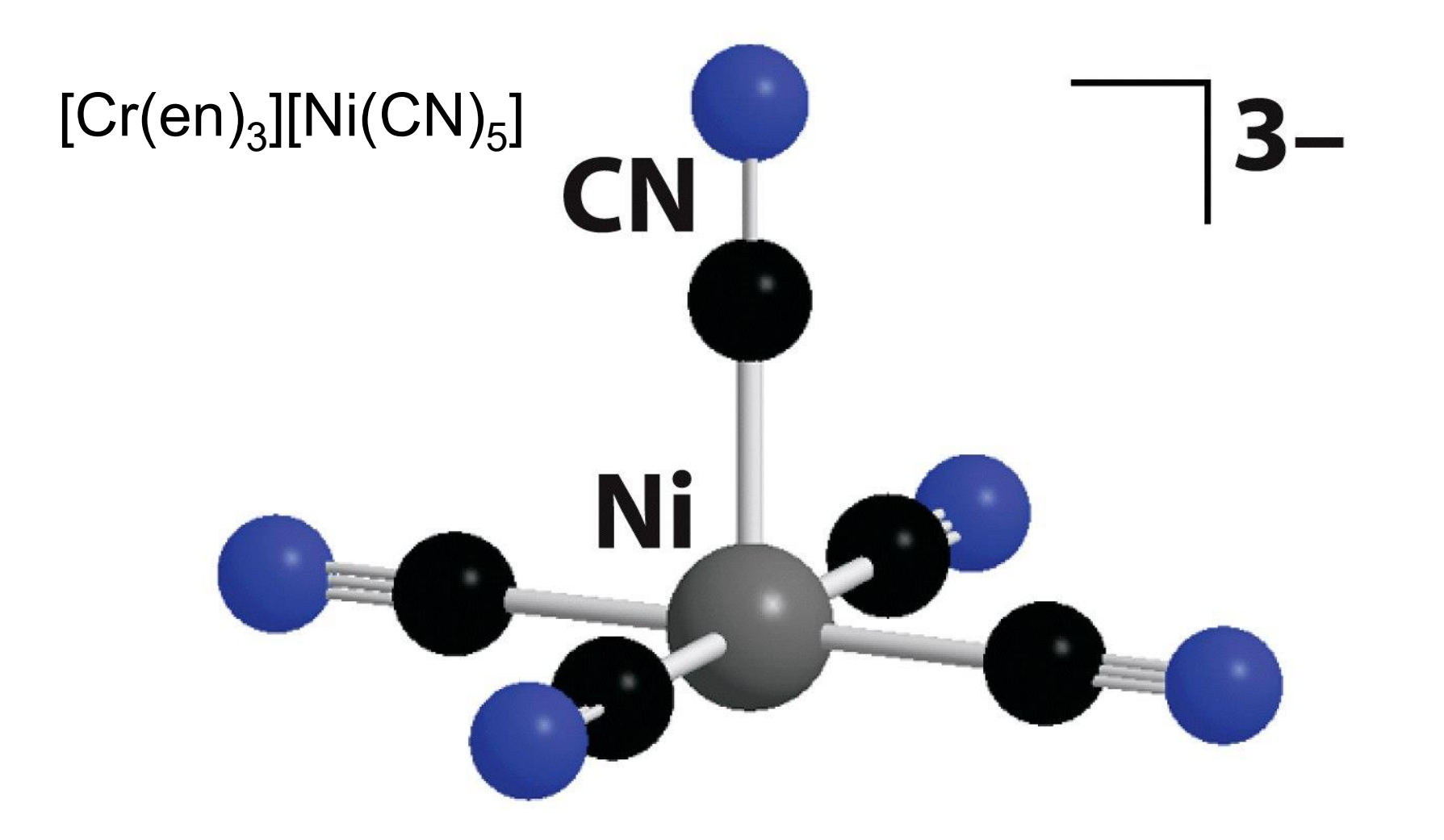
Legante tripodale



 $[Cu(bpy)\{NH(CH_2CO_2)_2\}]$

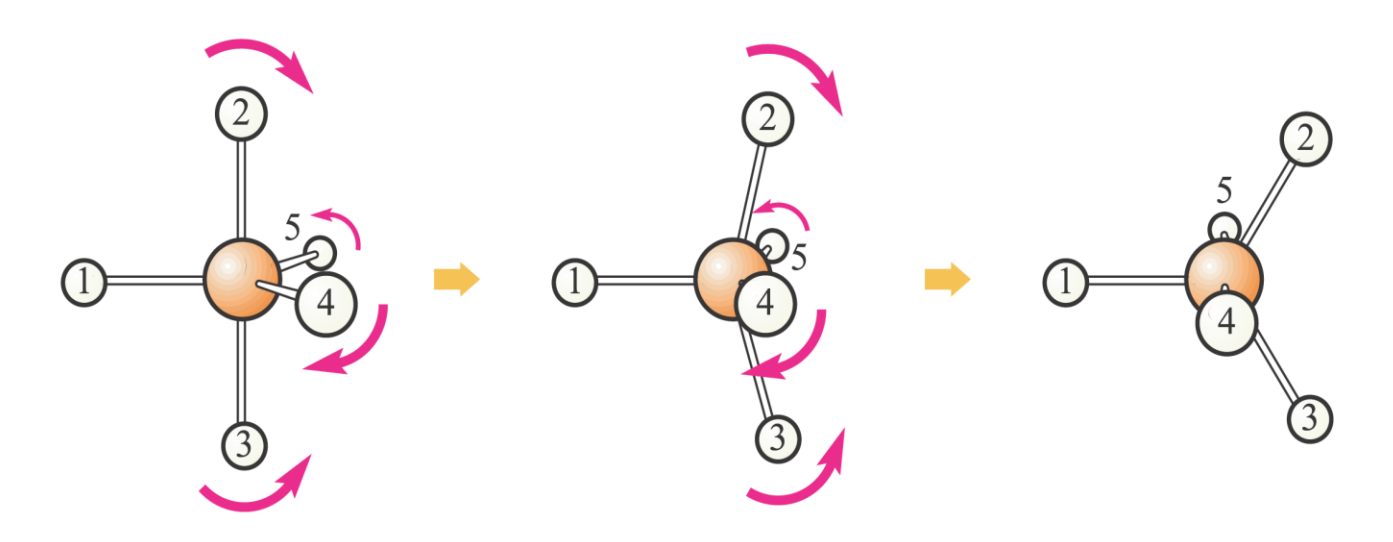


[Ni(CN)₅]³⁻, trigonal bipyramidal



 $[Ni(CN)_5]^{3-}$, square pyramidal

Flussionalità Pseudo-rotazione di Berry

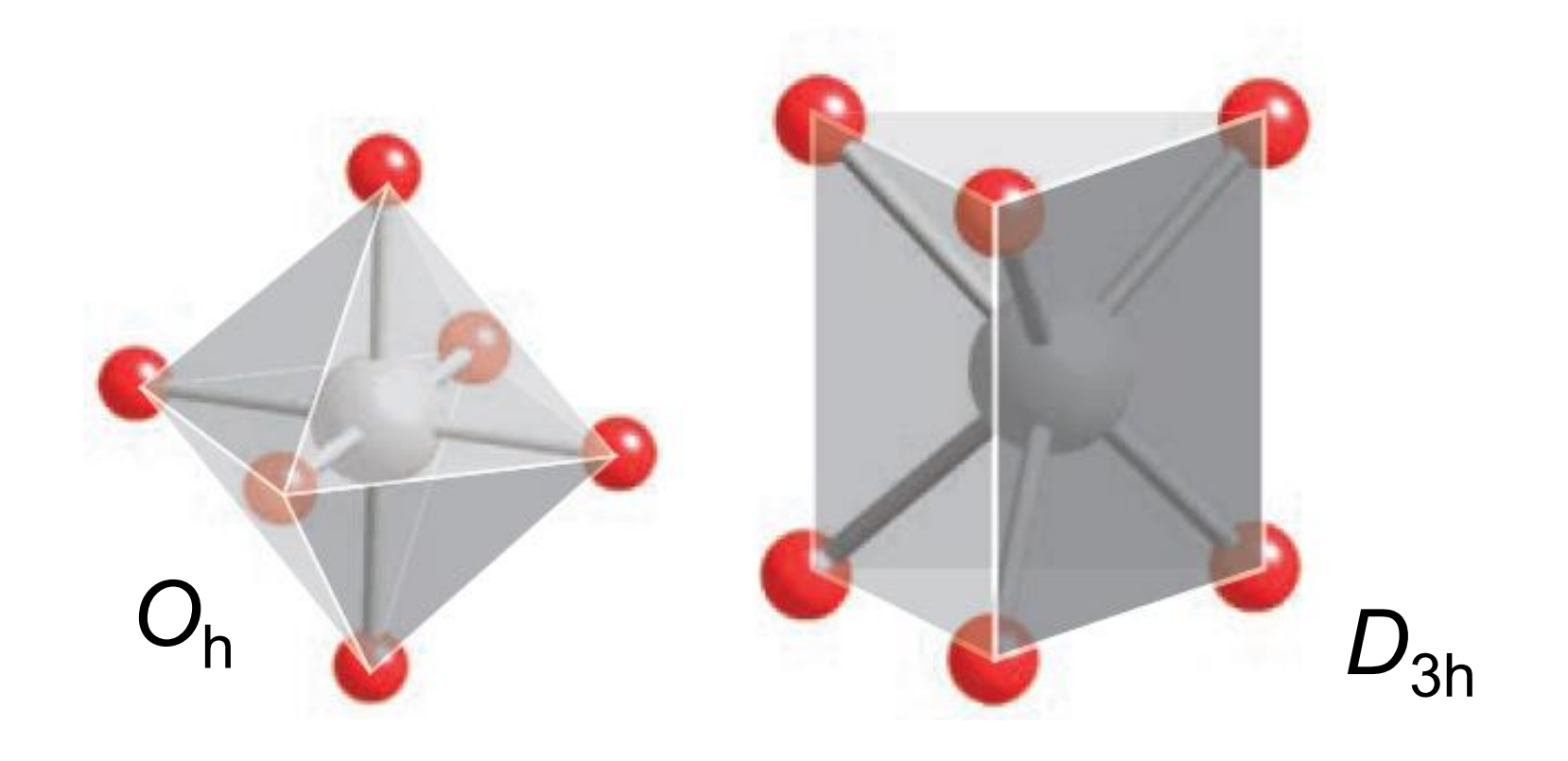


Trigonal bipyramid (Atoms 2 and 3 are in axial sites.)

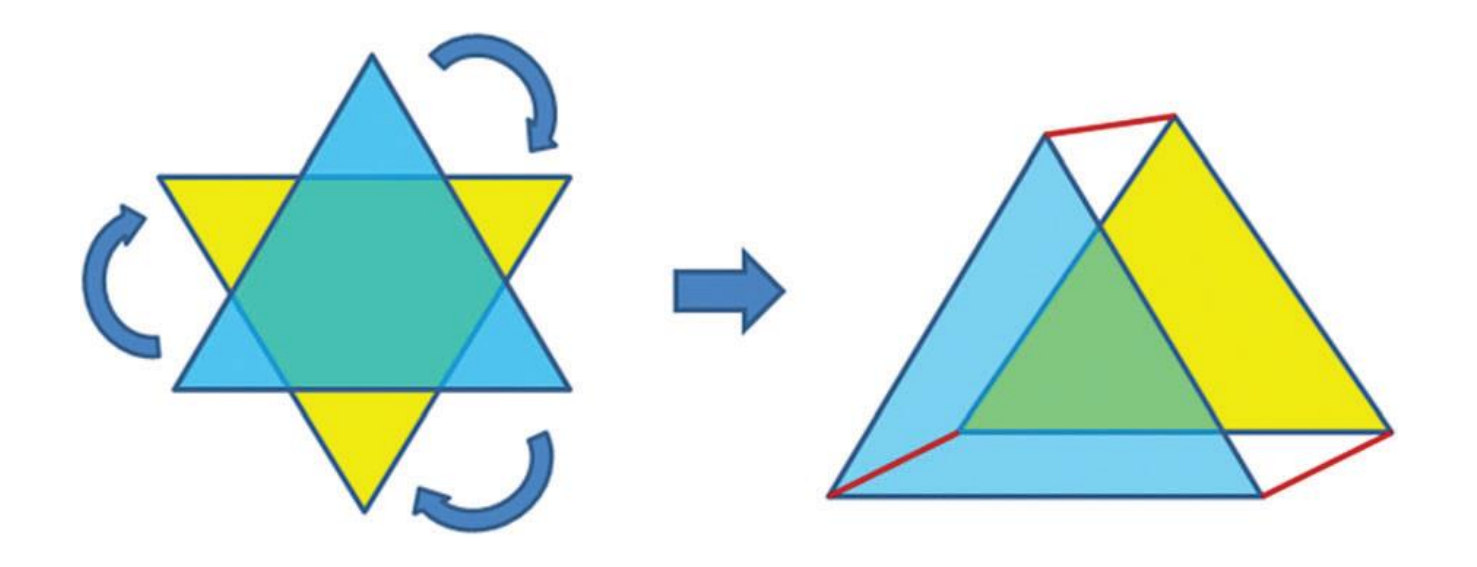
Square-based pyramid

Trigonal bipyramid (Atoms 4 and 5 are in axial sites.)

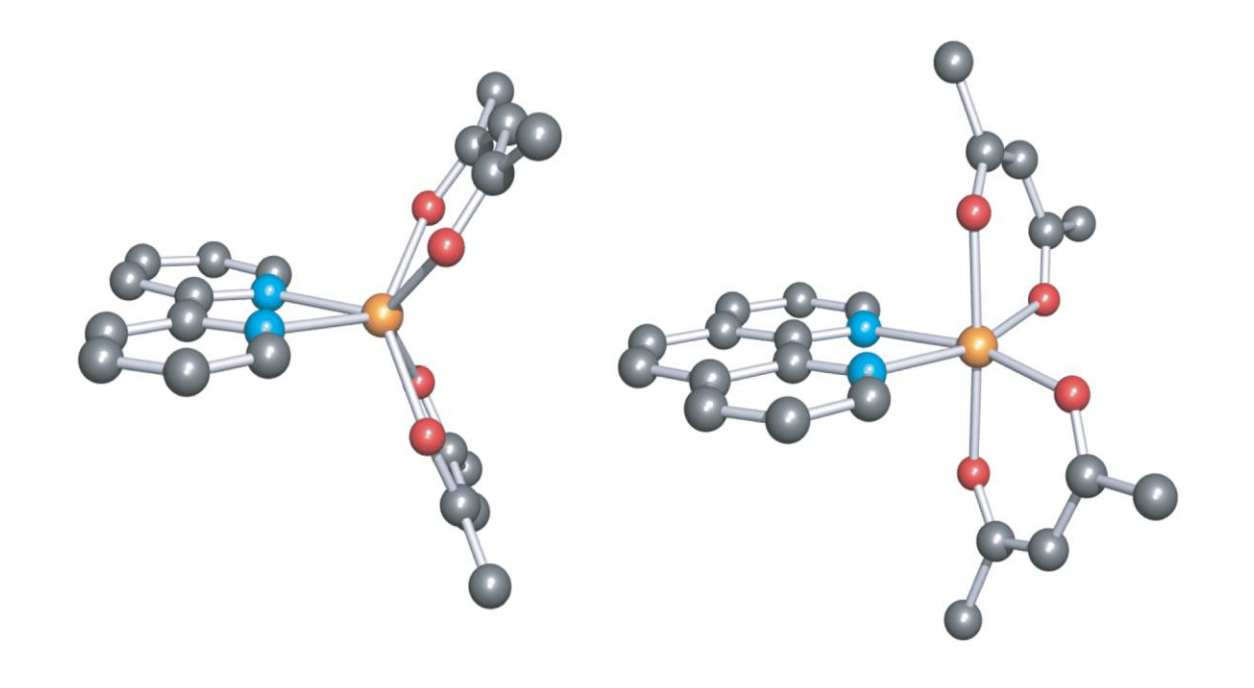
Complessi esacoordinati



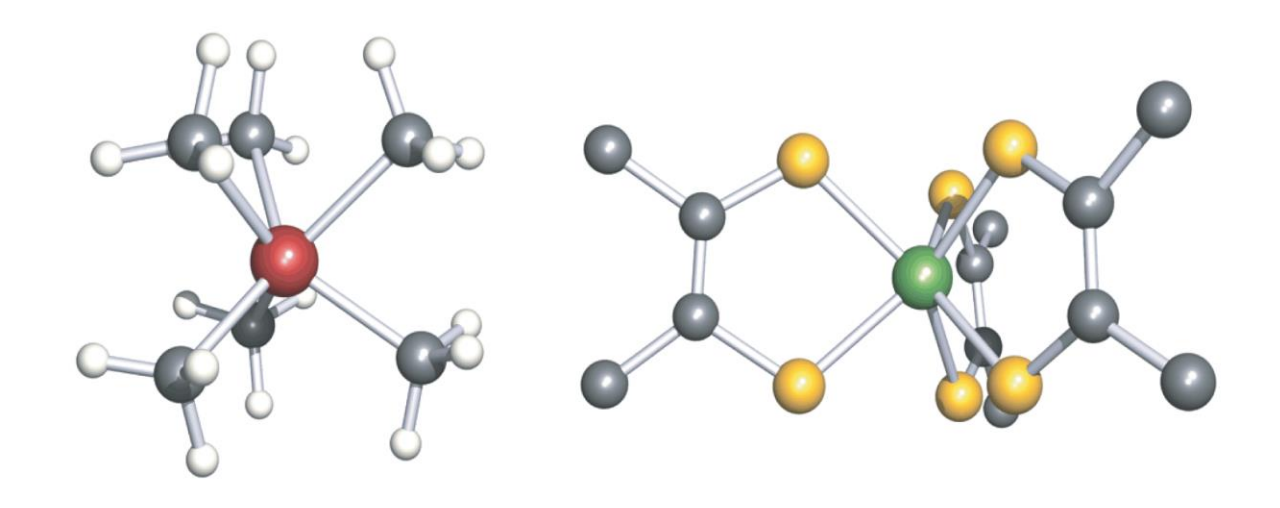
Un ottaedro può essere considerato un anti-prisma trigonale



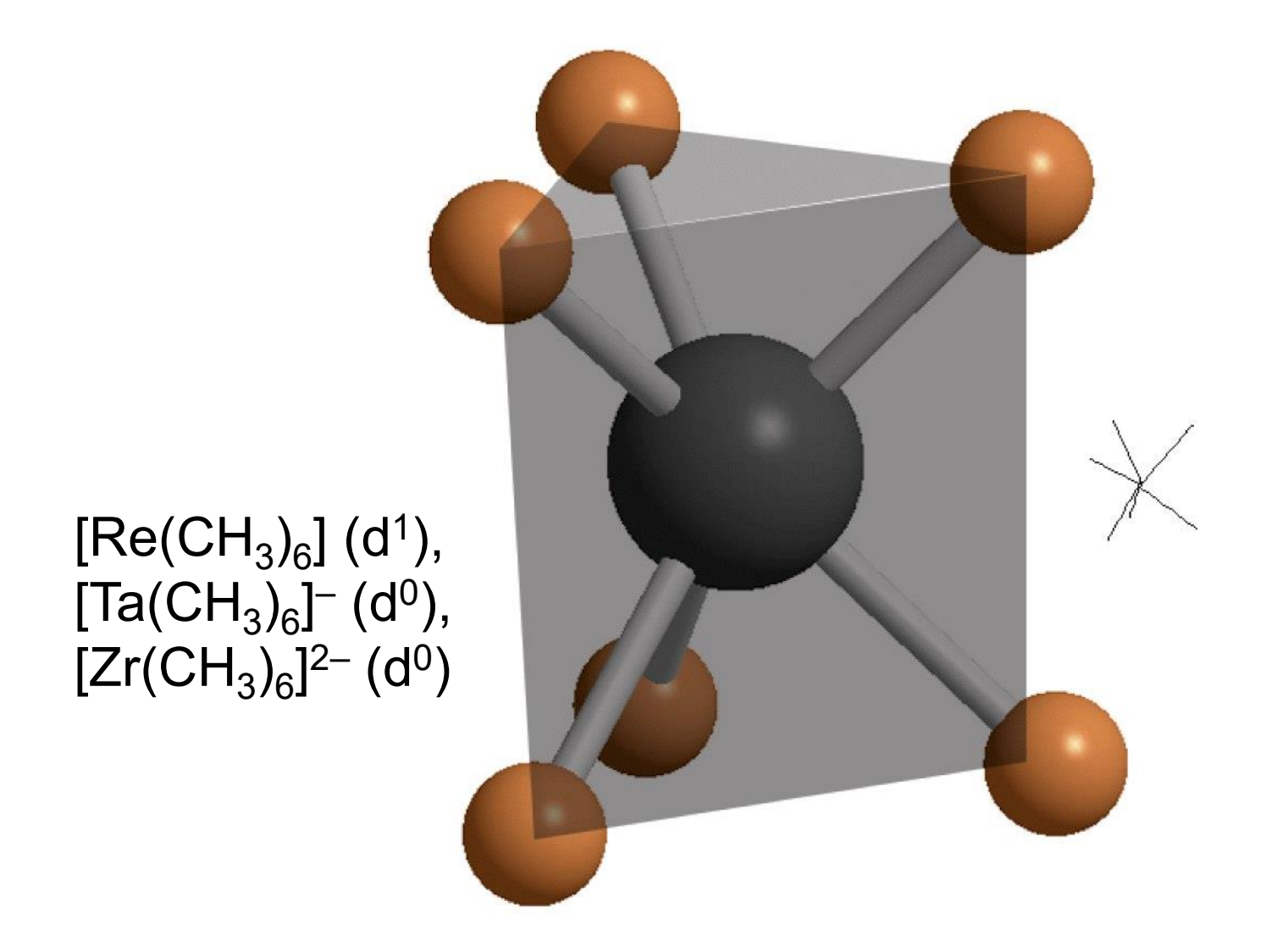
interconversione ottaedro-prisma triangolare per rotazione di 60° di una faccia triangolare rispetto a quella opposta



[Mn(acac)₂(bipy)] [Mn(acac)₂(phen)]

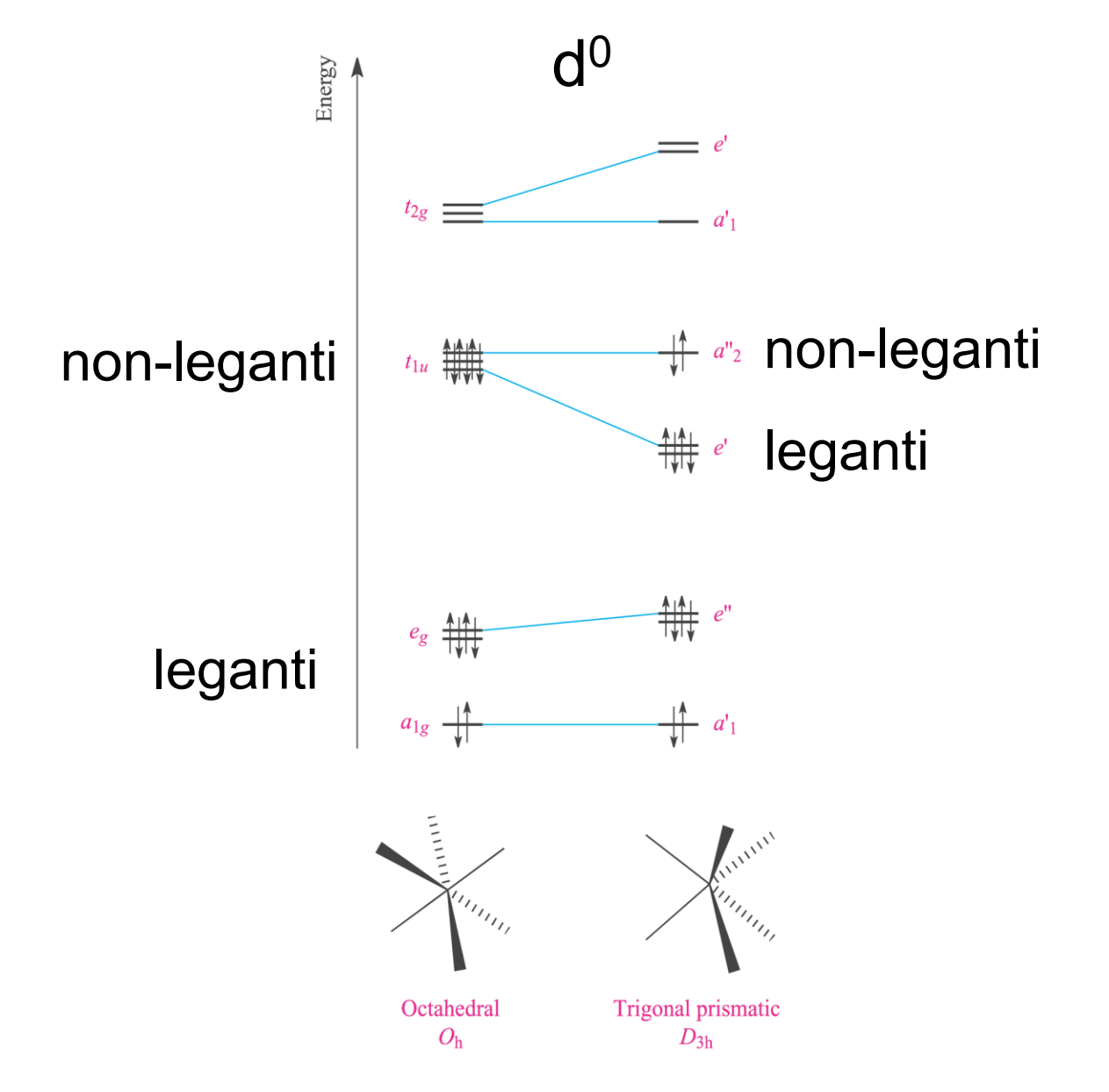


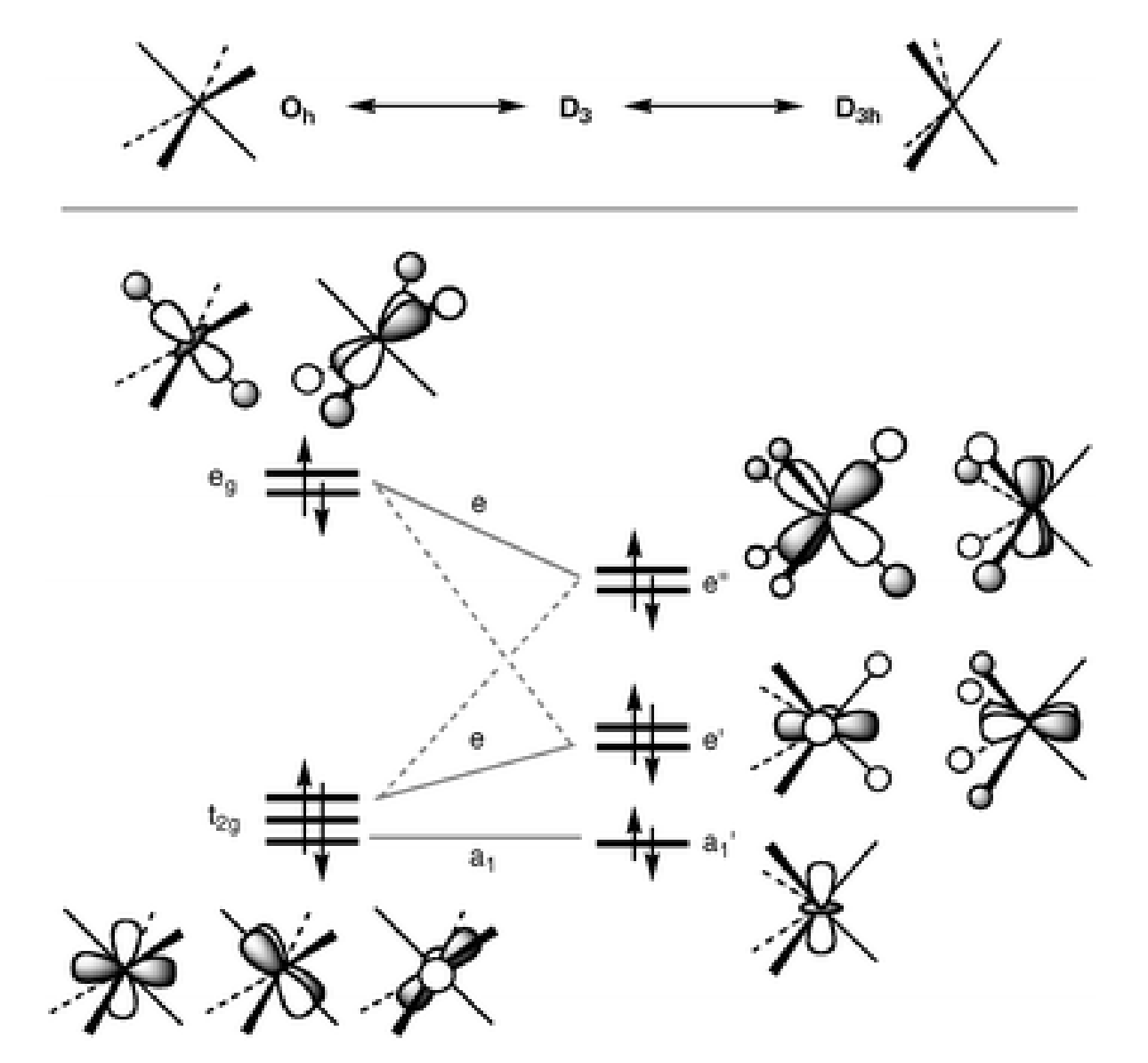
 $[W(CH_3)_6]$ (d⁰) $[Re(S_2C_2Ph_2)_3]$ (d¹) prisma trigonale distorto



Trigonal prism, D_{3h}

Essenzialmente in complessi di metalli d⁰ o d¹ con leganti puri σ-donatori

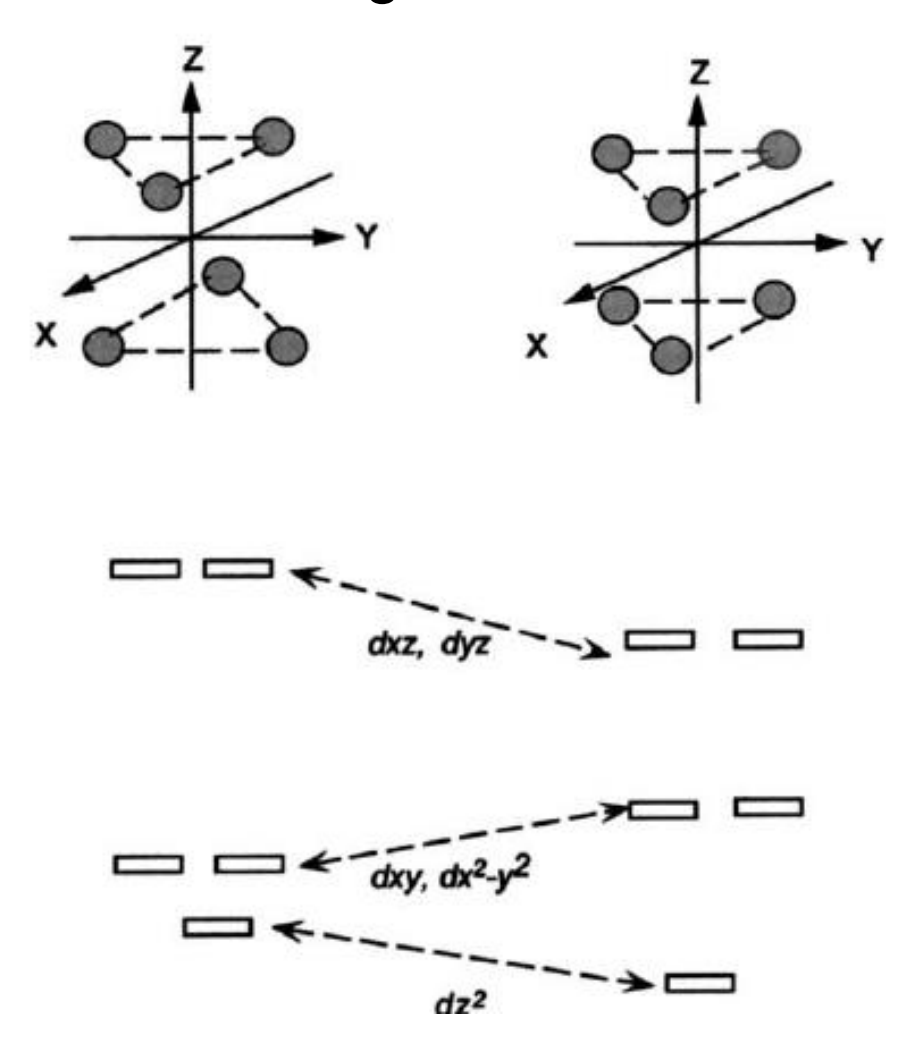




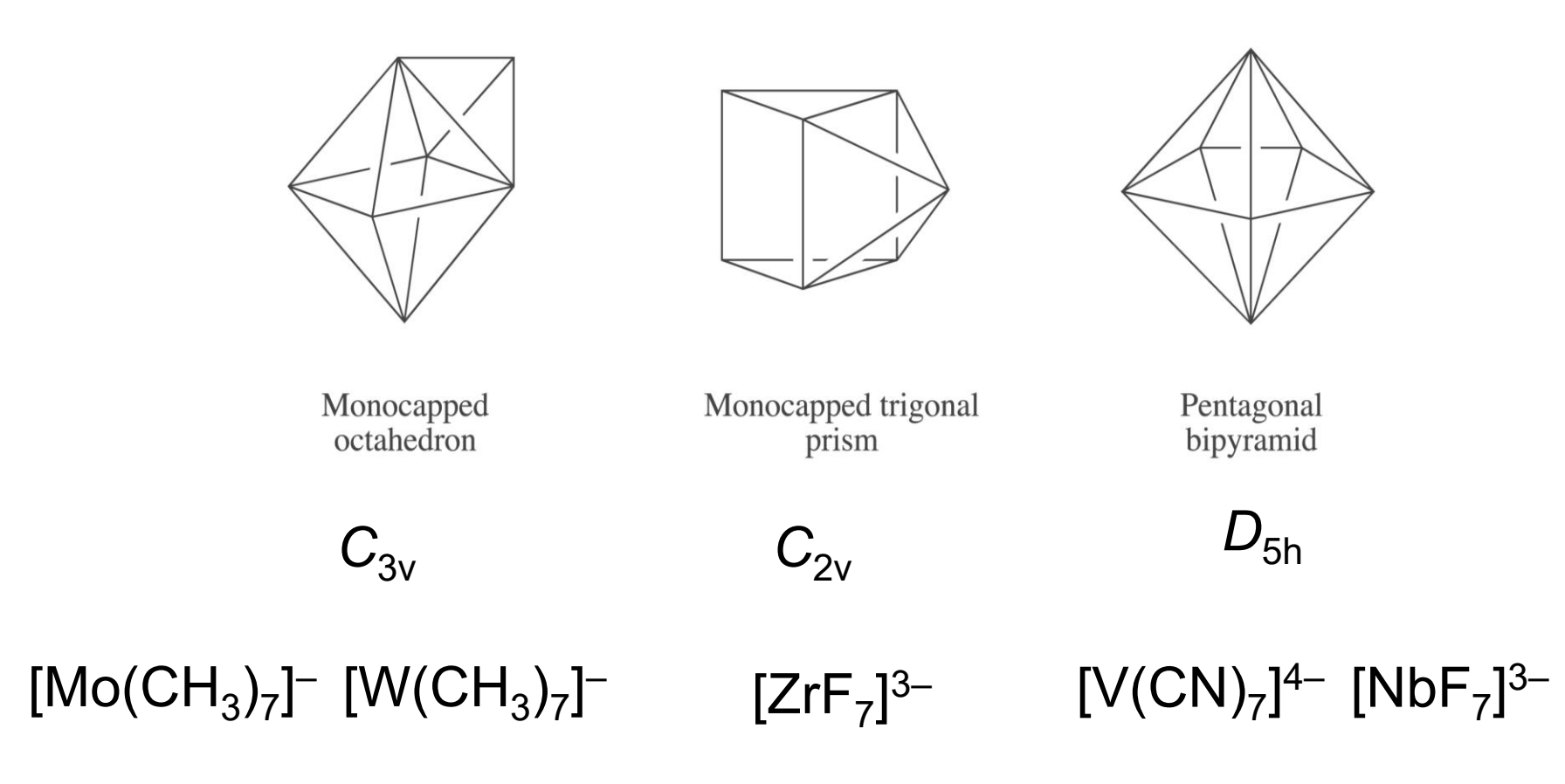
Diversa orientazione degli assi cartesiani

Chem. Commun. 2009, 4242-4244.

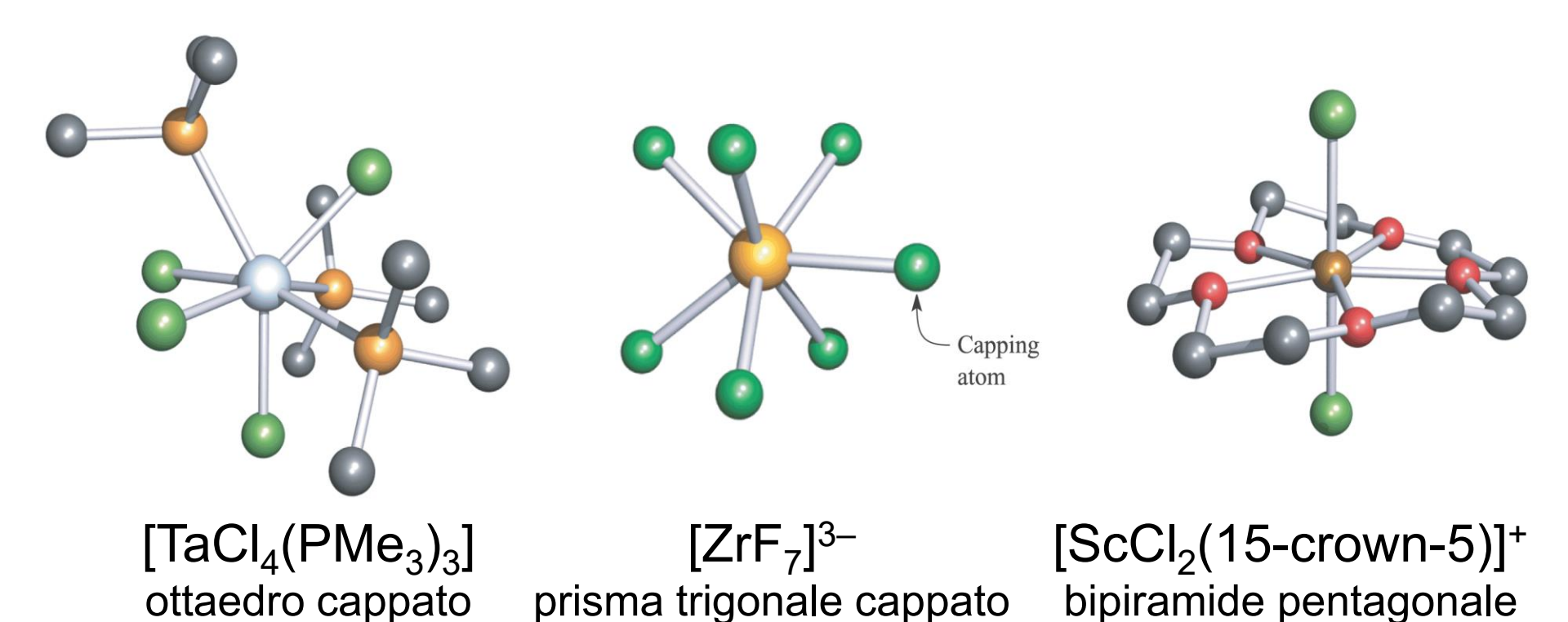
Splitting degli orbitali d in campo ottaedrico e prisma trigonale mantenendo l'orientazione degli assi cartesiani del prisma



Geometrie per numero di coordinazione 7

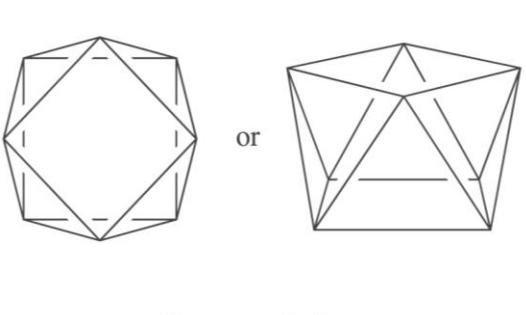


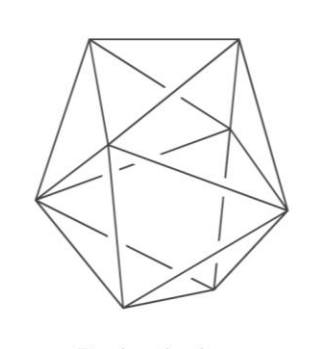
Esempi di complessi eptacoordinati

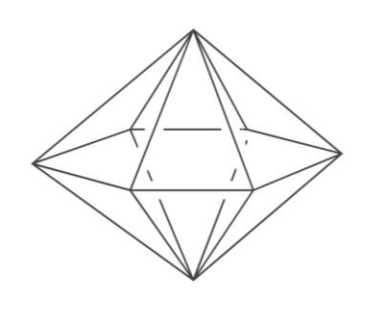


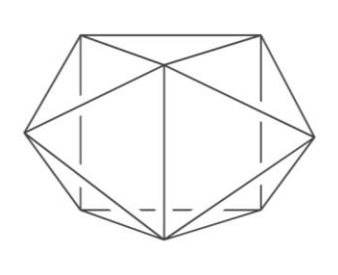
Cationi = acidi di Lewis deboli

Geometrie per numero di coordinazione 8









Square antiprism

Dodecahedron

Hexagonal bipyramid

Bicapped trigonal prism

$$D_{4d}$$

$$D_{2d}$$

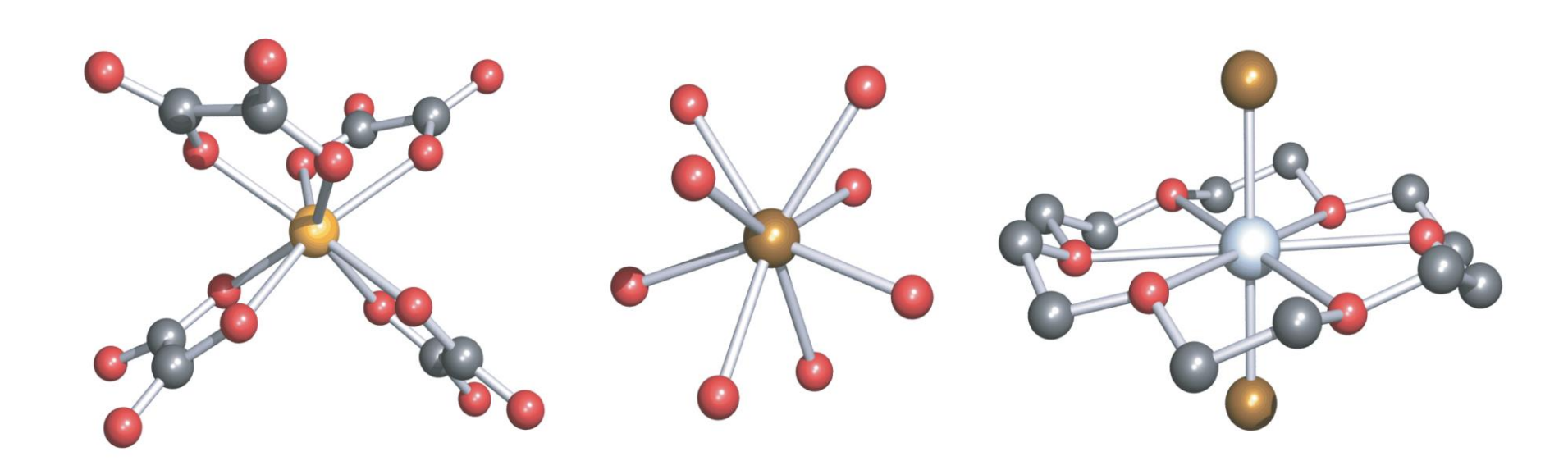
$$[Zr(acac)_4] (d^0)$$

 $[TaF_8]^{3-} (d^0)$
 $[ReF_8]^{2-} (d^1)$

$$[Mo(CN)_8]^{3-}$$

 $[W(CN)_8]^{3-}$
 $[Mo(CN)_8]^{4-}$
 $[W(CN)_8]^{4-}$

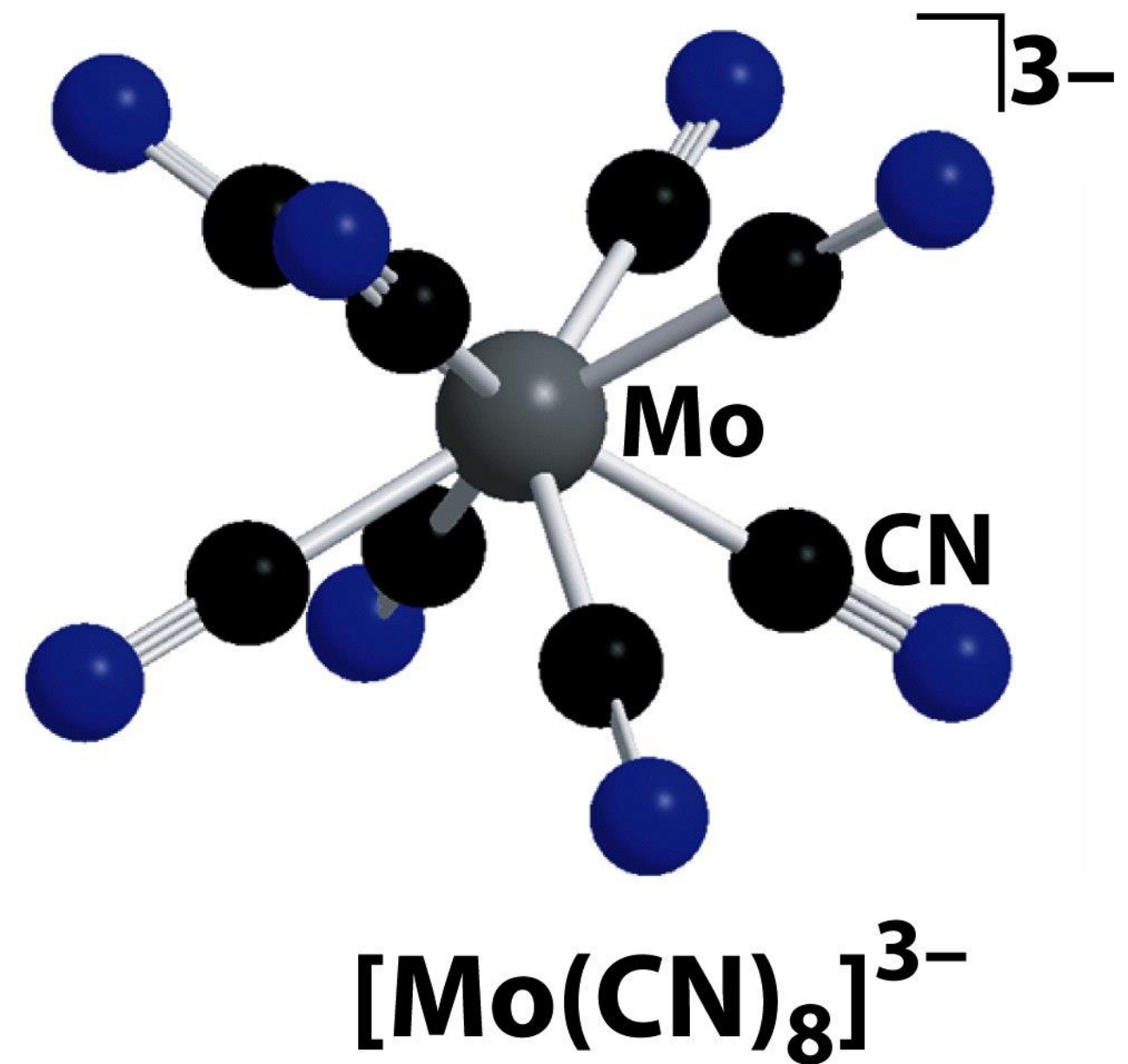
Esempi di complessi ottacoordinati



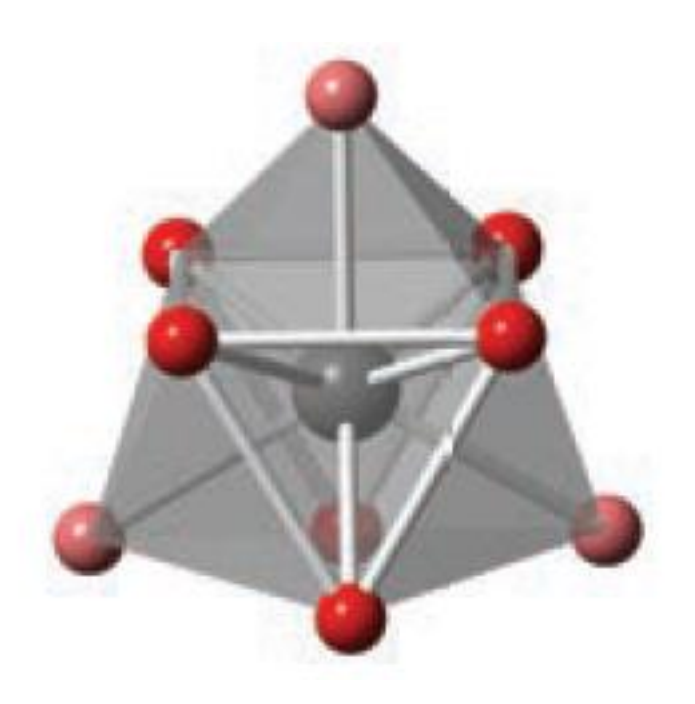
 $[Nb(ox)_4]^{4-}$ antiprisma quadrato

 $[Y(OH_2)_8]^{3+}$ dodecaedro

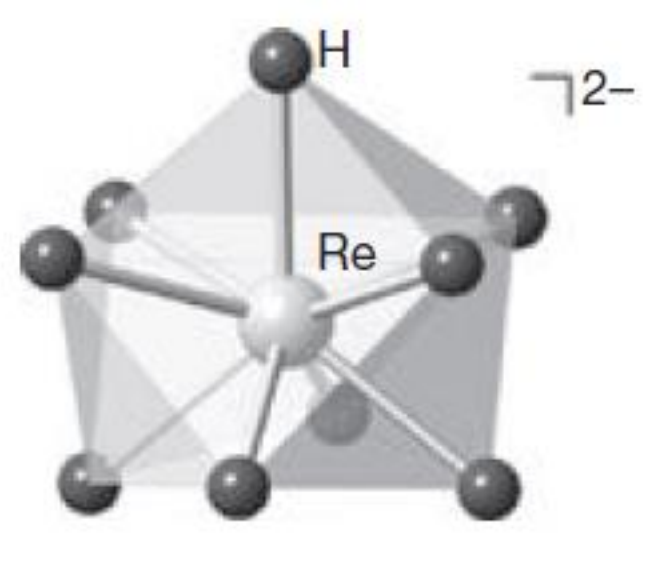
[CdBr₂(18-crown-6)] bipiramide esagonale



Geometrie per numero di coordinazione 9

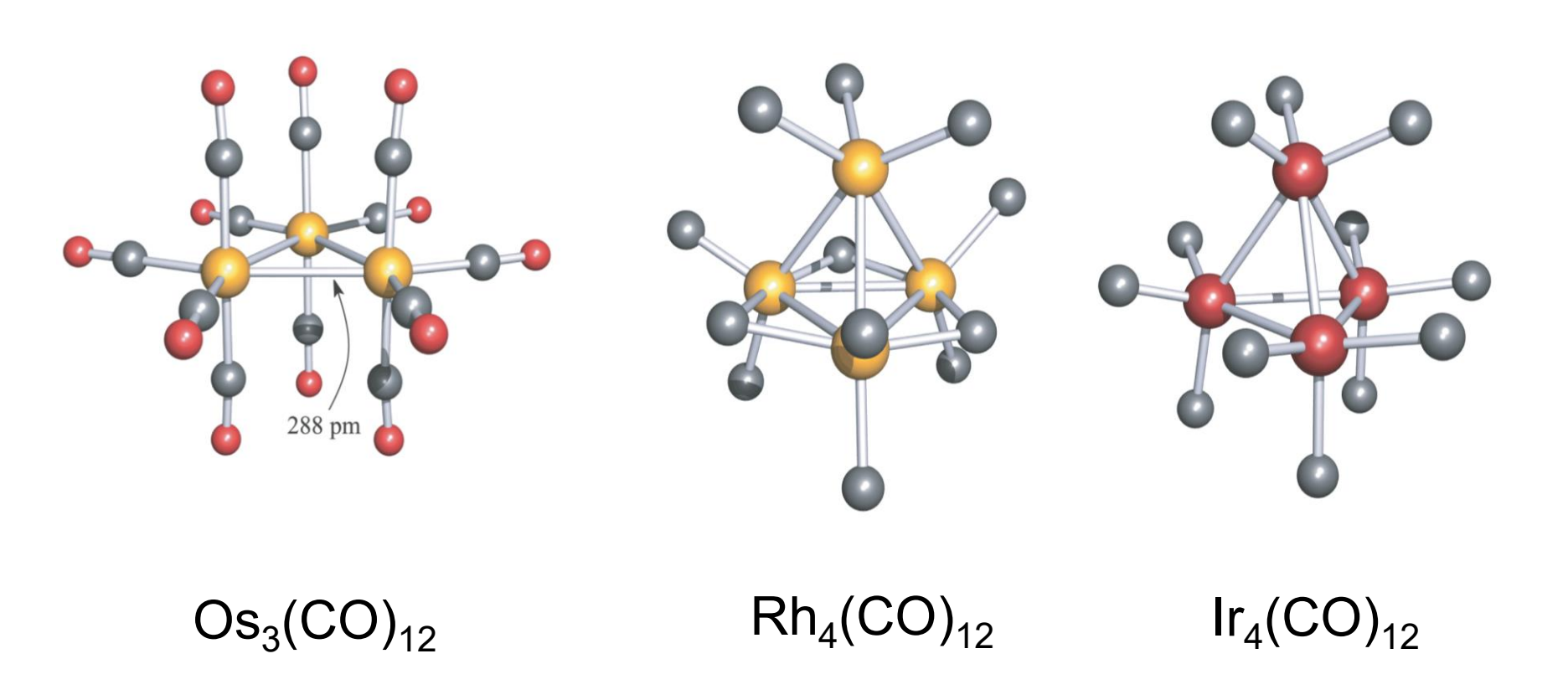


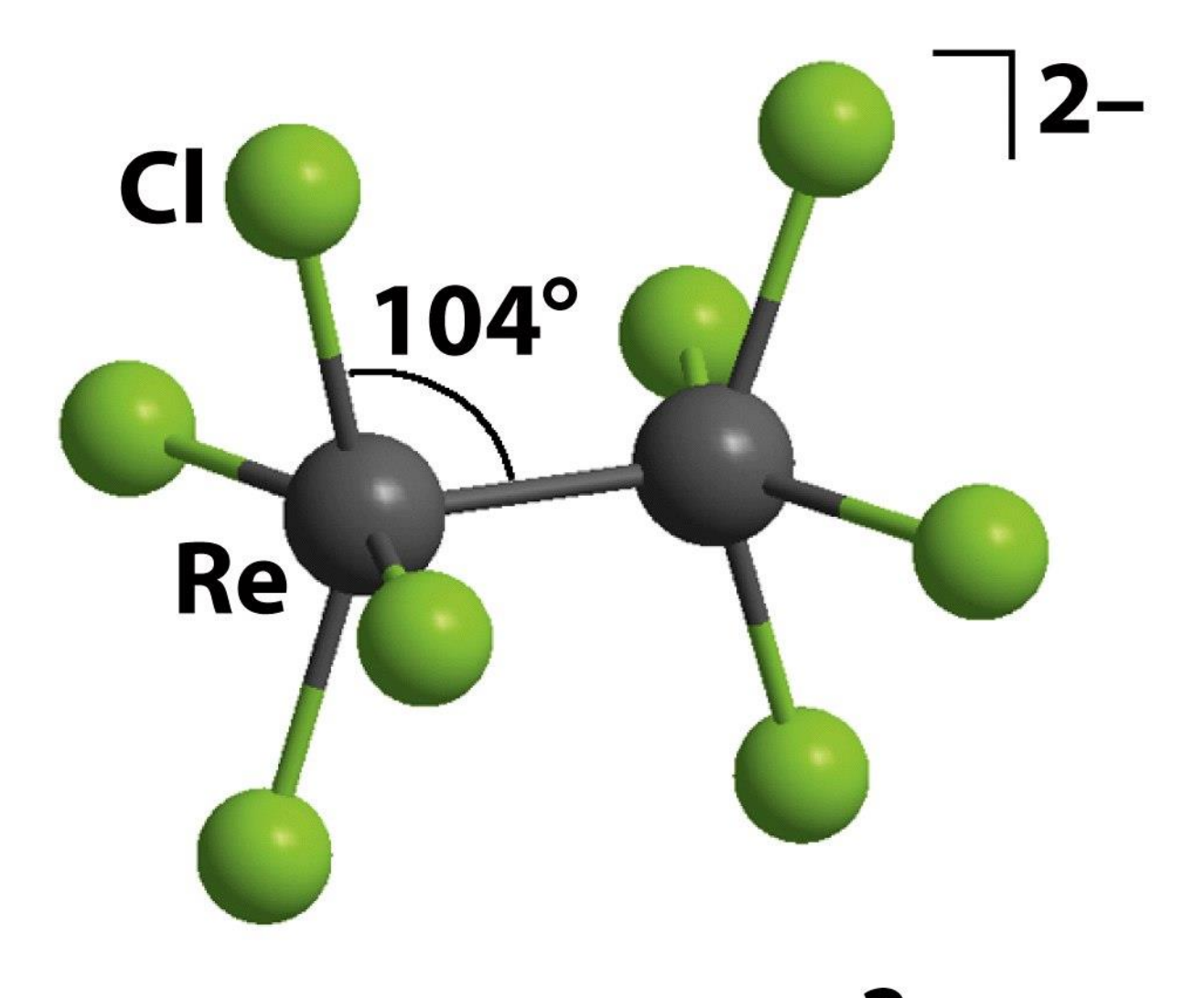
Prisma trigonale tricappato



 $[ReH_9]^{2-}$

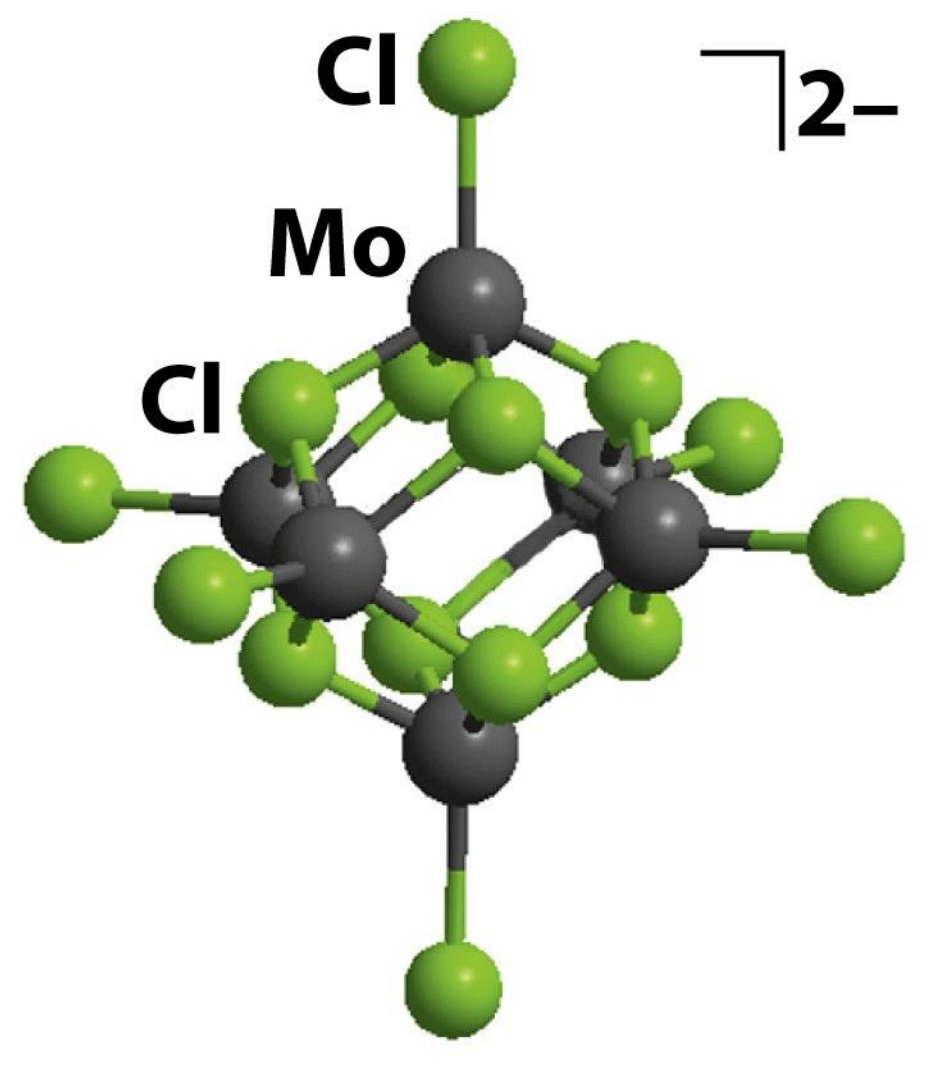
Cluster metallici



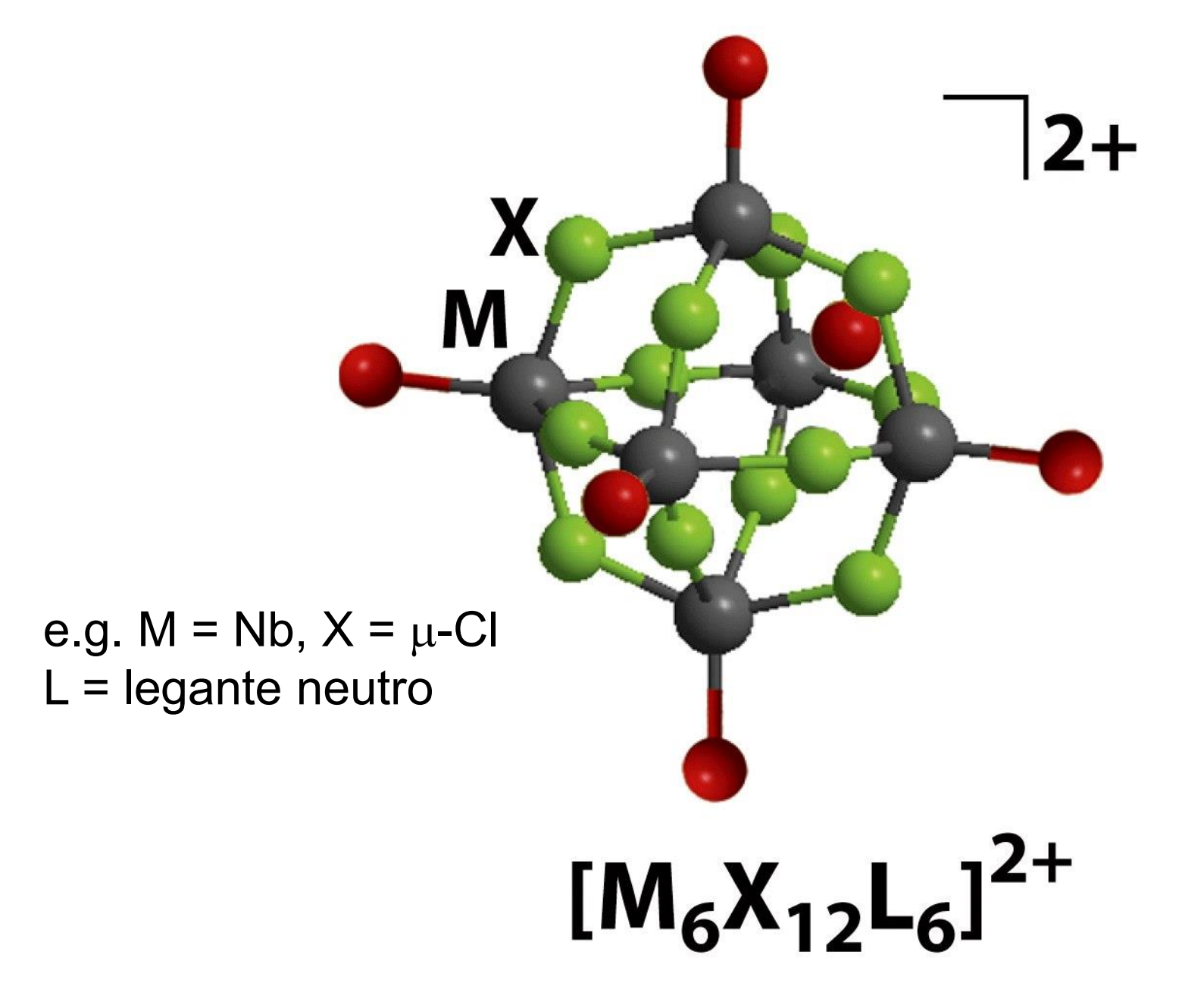


 $[Re_2Cl_8]^{2-}$

Complessi a gabbia

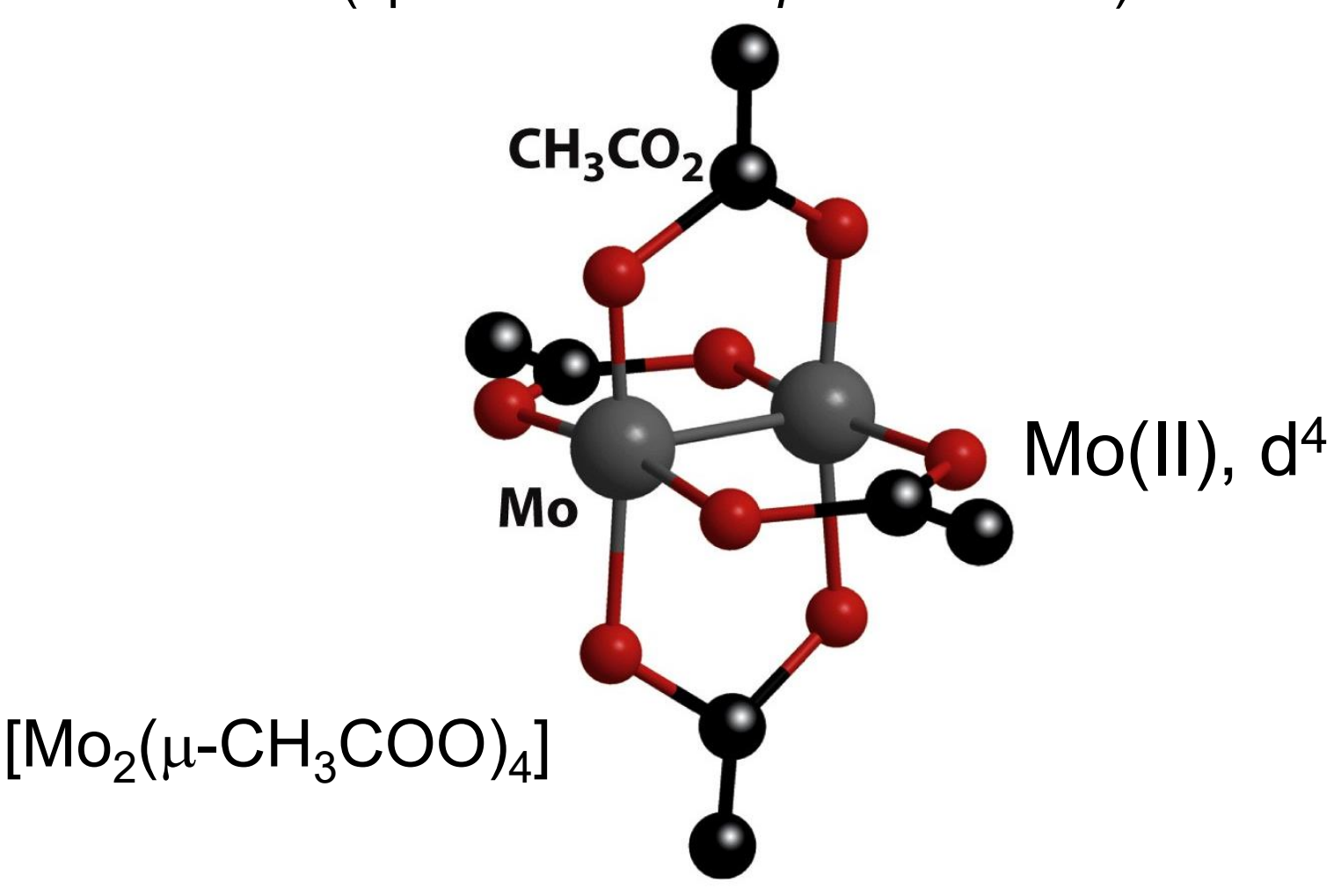


 $[Mo_6CI_{14}]^{2-}$ o $[Mo_6CI_6(\mu_3-CI)_8]^{2-}$



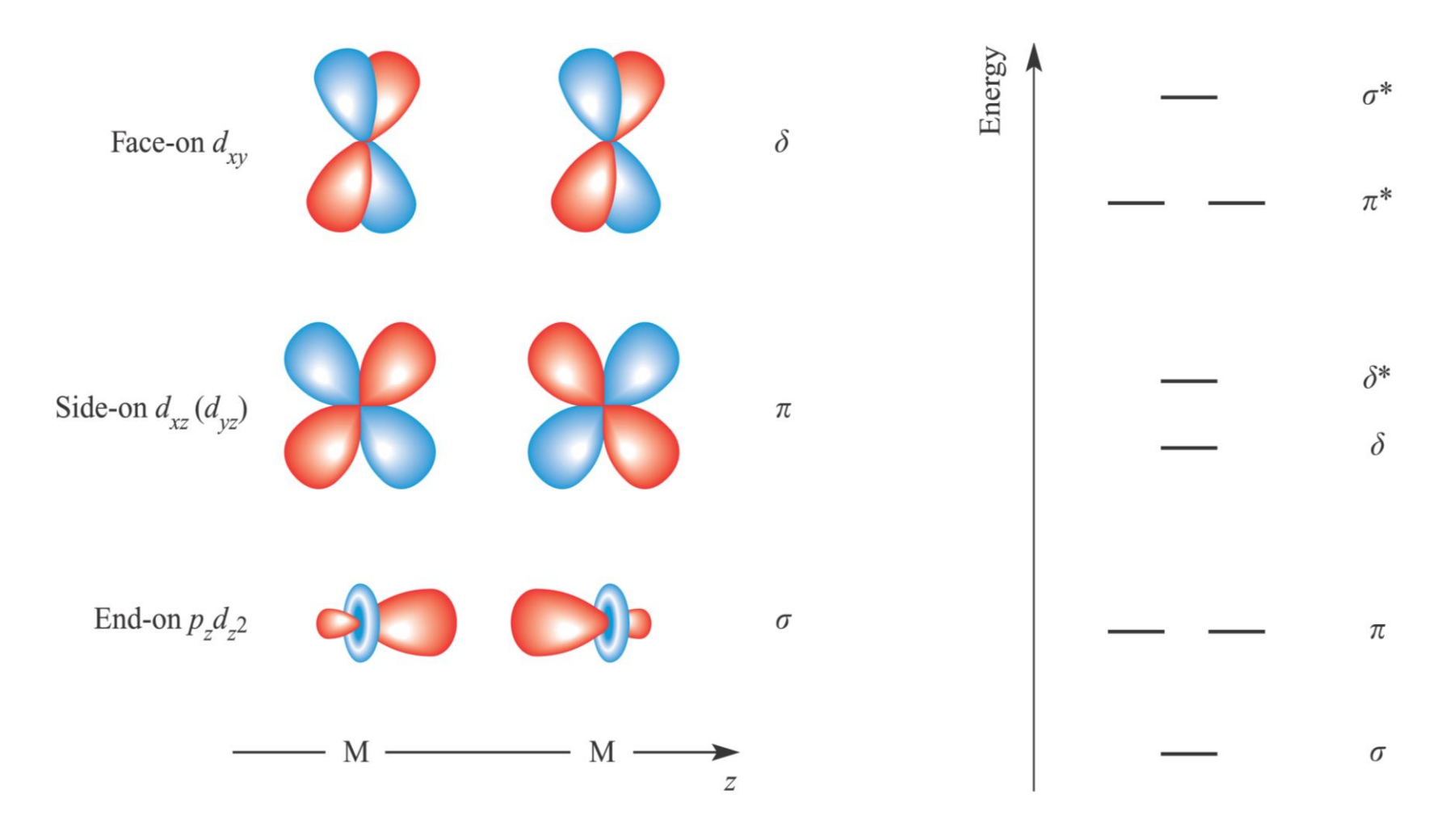
Complesso a gabbia

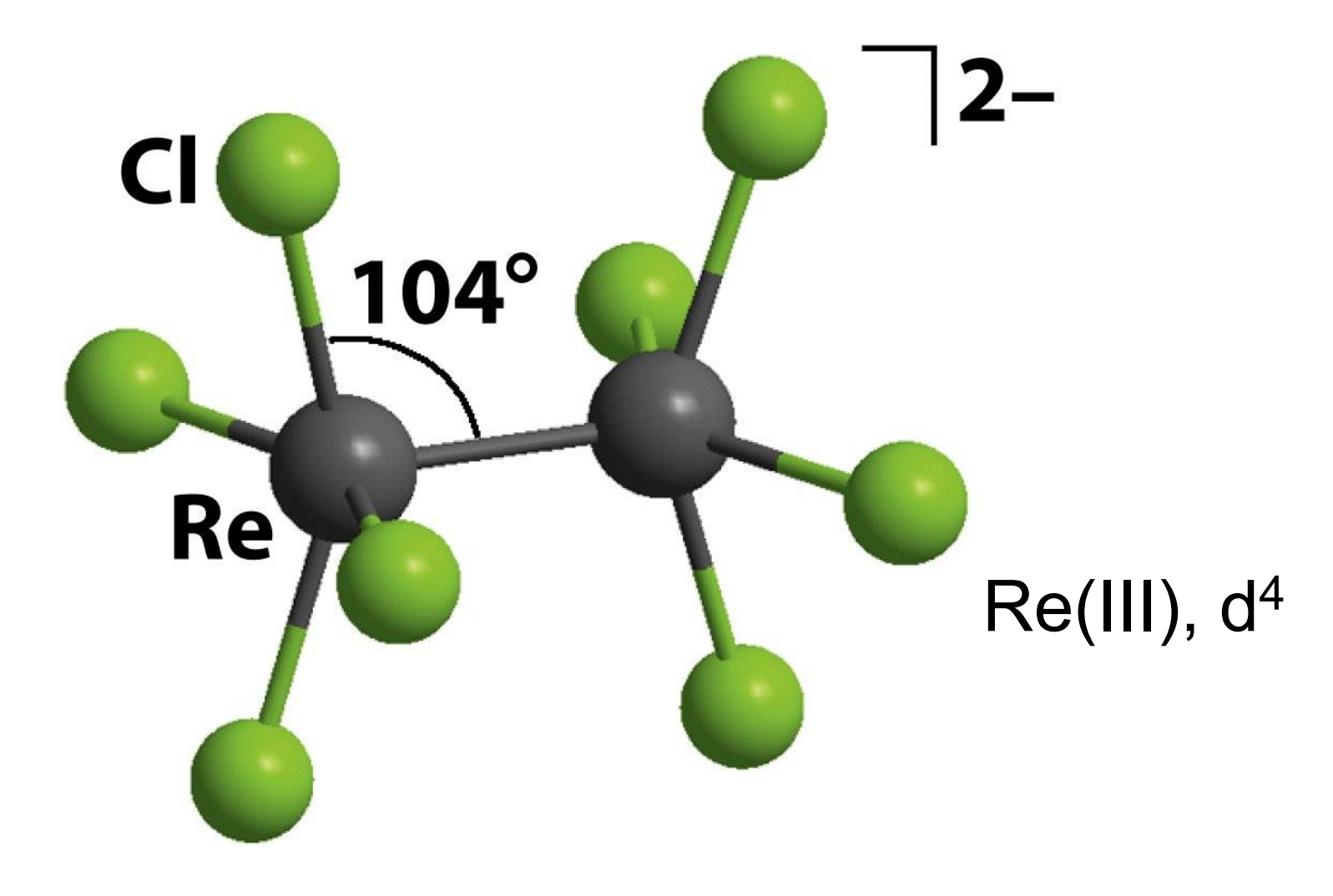
(tipo a lanterna o paddle-wheel)



Ordine di legame M-M da 1 a 4

Legami multipli M–M con contributo δ





Cloruri eclissati a causa del legame δ

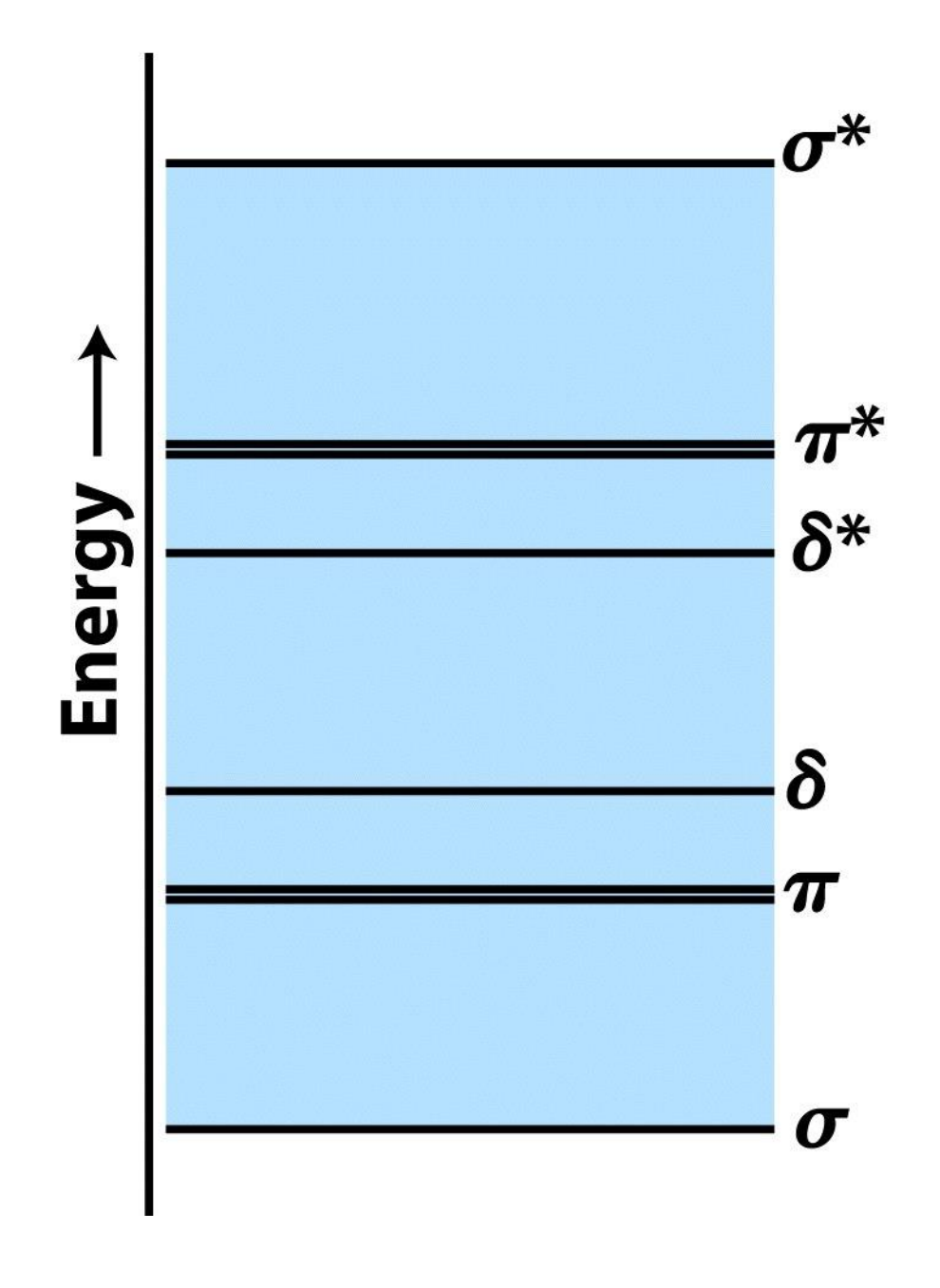


Table 18.9 Examples of metal-metal bonded tetragonal prismatic complexes[†] Complex Configuration M-M bond **Bond** order length/pm $\sigma^2 \pi^4 \delta^2$ OH. 4 211 $\sigma^2 \pi^4 \delta^1$ 3.5 217 3-O_Mo

Table 18.9 Examples of metal-metal bonded tetragonal prismatic complexes[†]

| Table 18.9 Examples of metal-metal bonded tetragonal prismatic complexes | | | | | |
|--|--|---------------|-----------------------|--|--|
| Complex | Configuration | Bond order | M—M bond length/pm | | |
| O O O O O O O O O O O O O O O O O O O | $\sigma^2\pi^4$ | 3 | 222 | | |
| CI | $\sigma^2 \pi^4 \delta^2 \delta^{*1} \pi^{*2}$ | 2.5 | 227 | | |

Table 18.9 (Continued)

| Complex | Configuration | Bond order | M—M bond length/pm |
|--|--|---------------|-----------------------|
| $(H_3C)_2CO$ O O O O O O O O O | $\sigma^2 \pi^4 \delta^2 \delta^{*2} \pi^{*2}$ | 2 | 226 |
| H_2O O O O O O O O O O | $\sigma^2 \pi^4 \delta^2 \delta^{*1} \pi^{*4}$ | 1.5 | 232 |

| Table 18.9 (Continued) | | | |
|-------------------------------------|--|---------------|-----------------------|
| Complex | Configuration | Bond order | M—M bond length/pm |
| CH ₃ + H ₂ O | $\sigma^2 \pi^4 \delta^2 \delta^{*2} \pi^{*4}$ | 1 | 239 |

[†] When multiple bridging ligands are present, only one is shown in detail. *Source*: F.A. Cotton, *Chem. Soc. Rev.*, 1983, **12**, 35.

Legami quintupli M–M in complessi di Cr(I), d⁵

